

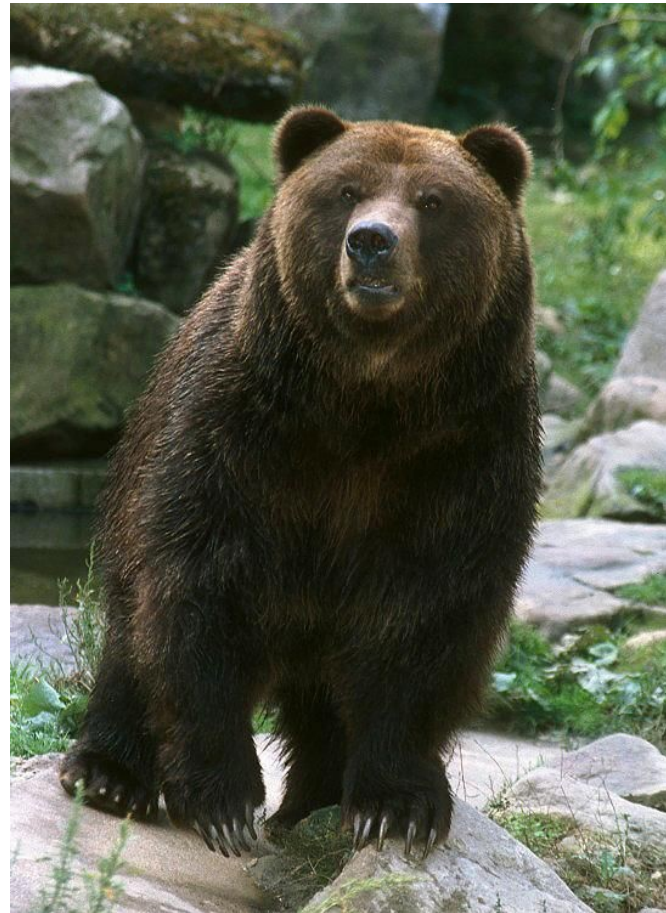
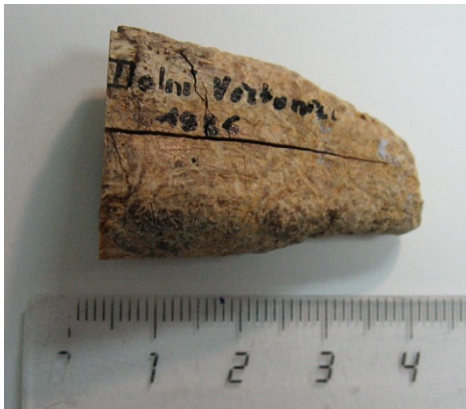
Prvková analýza v archeologii



Dolní Věstonice II



Dolní Věstonice: pokus B. Klímy o rekonstrukci vzhledu sídliště „lovečů mamutů“ pod Pavlovskými vrchy



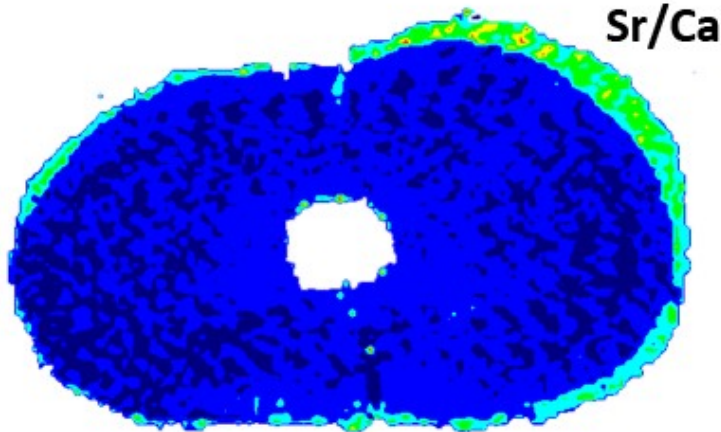
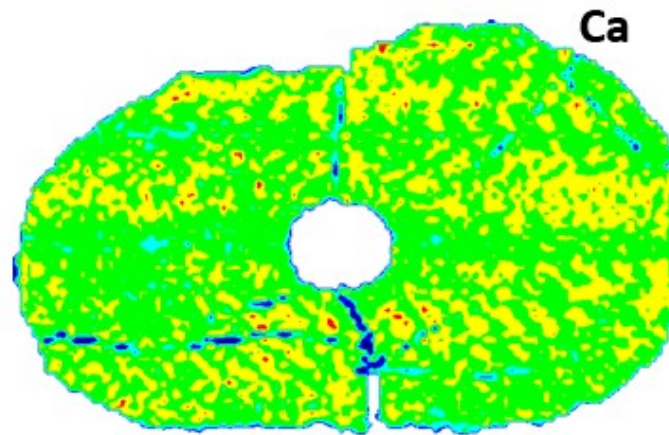
Špičák (C_1) fosilního medvěda hnědého (*Ursus arctos*), gravettien, 26 640 110 BP (nekalibrovaná ^{14}C data).



Prvek	obsah prvku ($\mu\text{g/g}$)	RSD
Ba	101	12
Zn	184	14
Sr	374	6

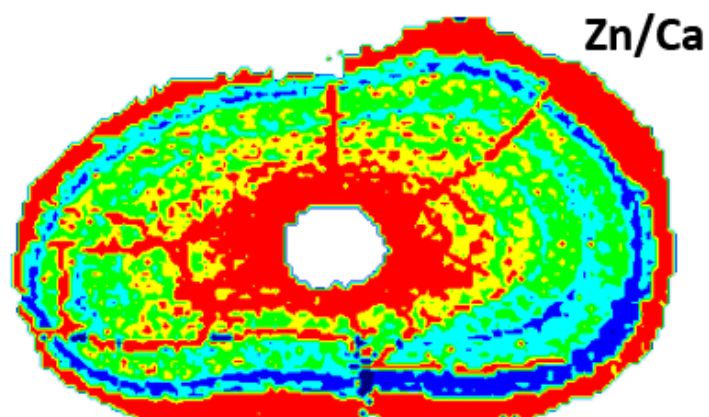
obsah Zn [mg/kg] : býložravci → **všežravci** → **masožravci**
 90-150 → **120-220** → **175-250**

Content Sr[mg/kg]: **masožravci** → **všežravci** → býložravci
 100-300 → **150-400** → **400-500**

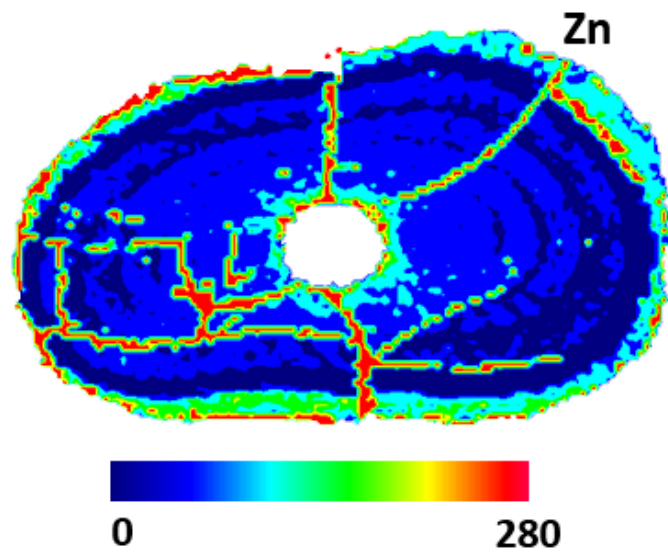




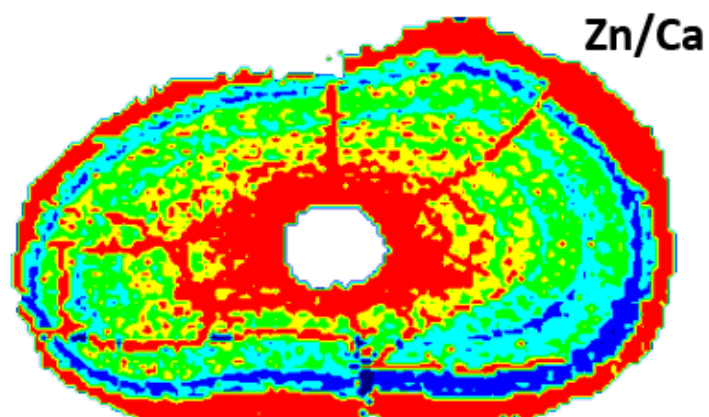
a)



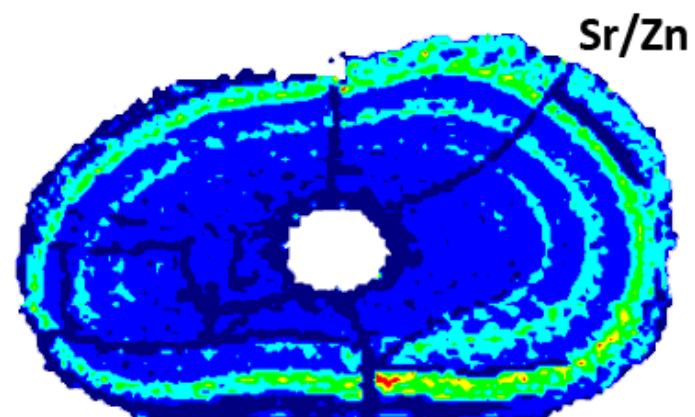
b)



c)



d)



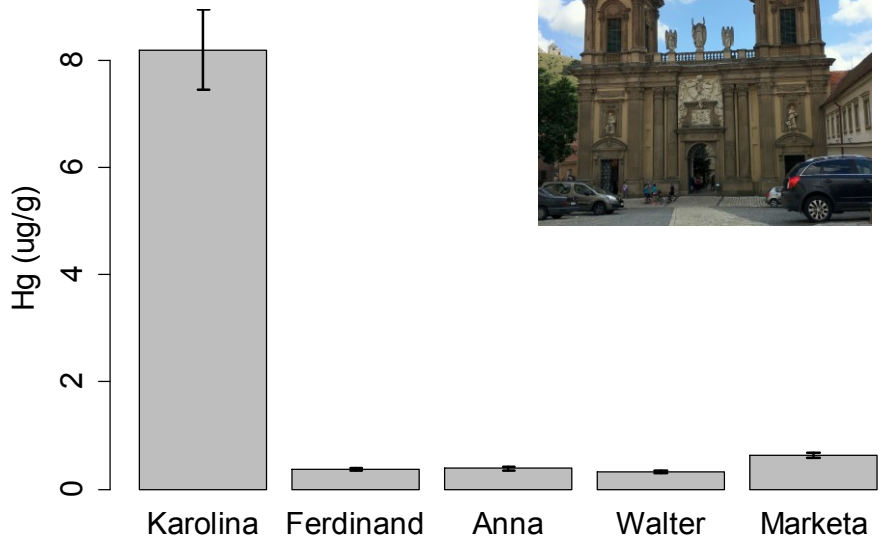
Mikulov

Výzkum rodinné hrobky Dietrichsteinů.

Kněžna Karolina Maxmiliana (†1734) trpěla nějakou blíže neurčenou, a na kosterních pozůstatcích nejistitelnou, chorobou (uvažuje se o tzv. „rychlých souchotinách“).



Jméno	Rok úmrtí	Hg ($\mu\text{g}\cdot\text{g}^{-1}$)
Karolina Maxmiliána Dietrichsteinová	1734	$8,20 \pm 0,23$
Robert Burns	1844	8,02
Andrew Jackson	1845	6,0 5,6
Napoleon Bonaparte	1821	$3,98 \pm 0,29$ 3,3 4,7



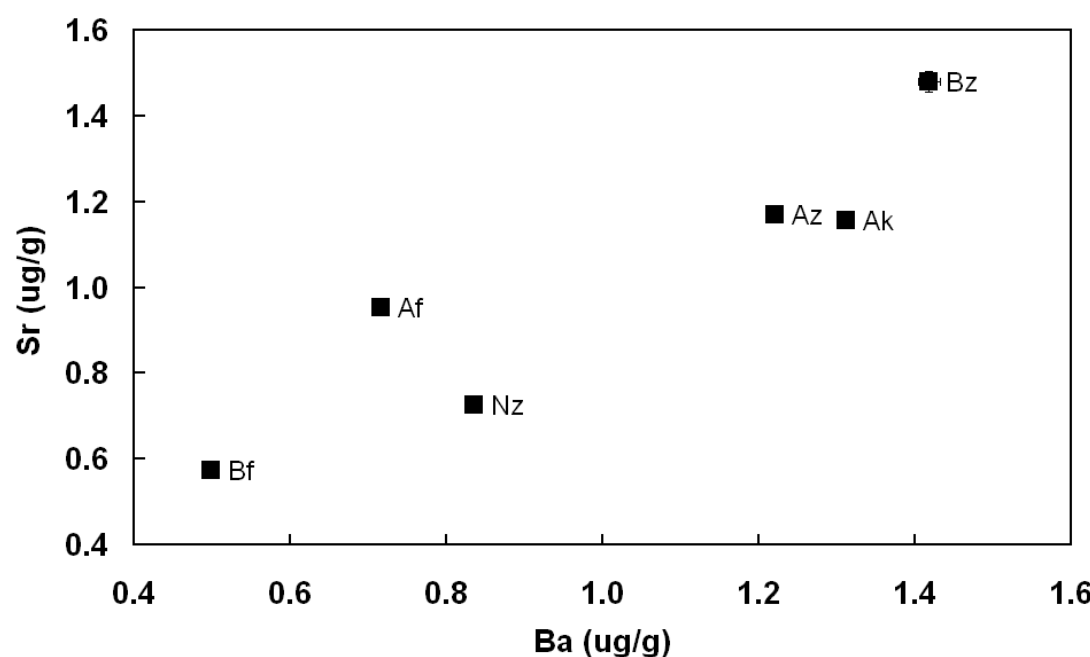
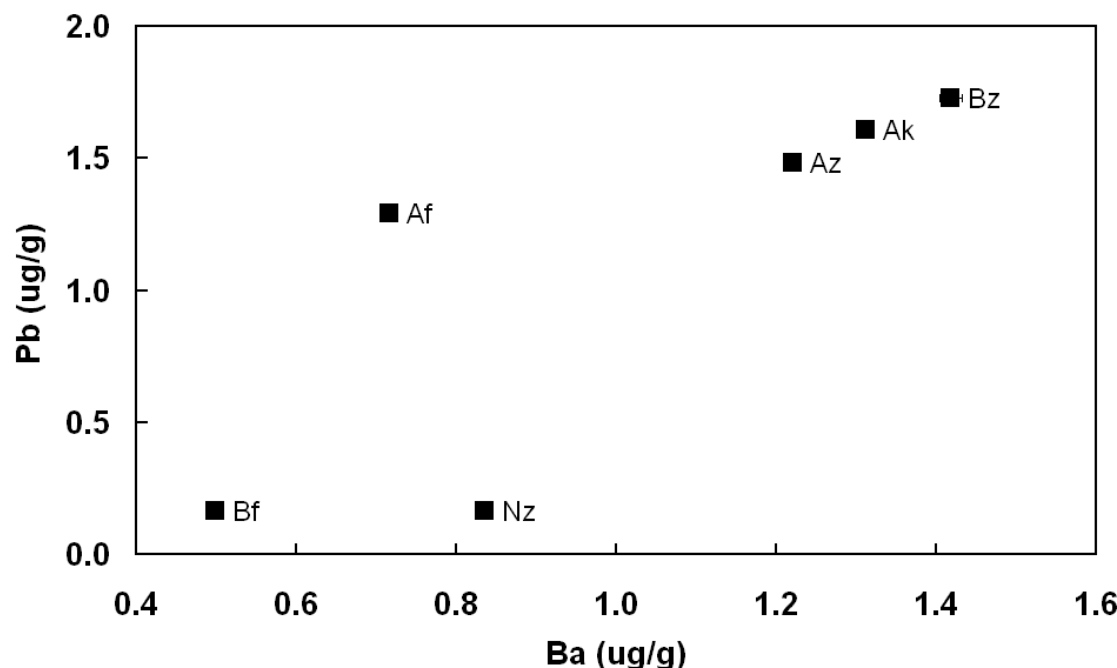
Uherské Hradiště

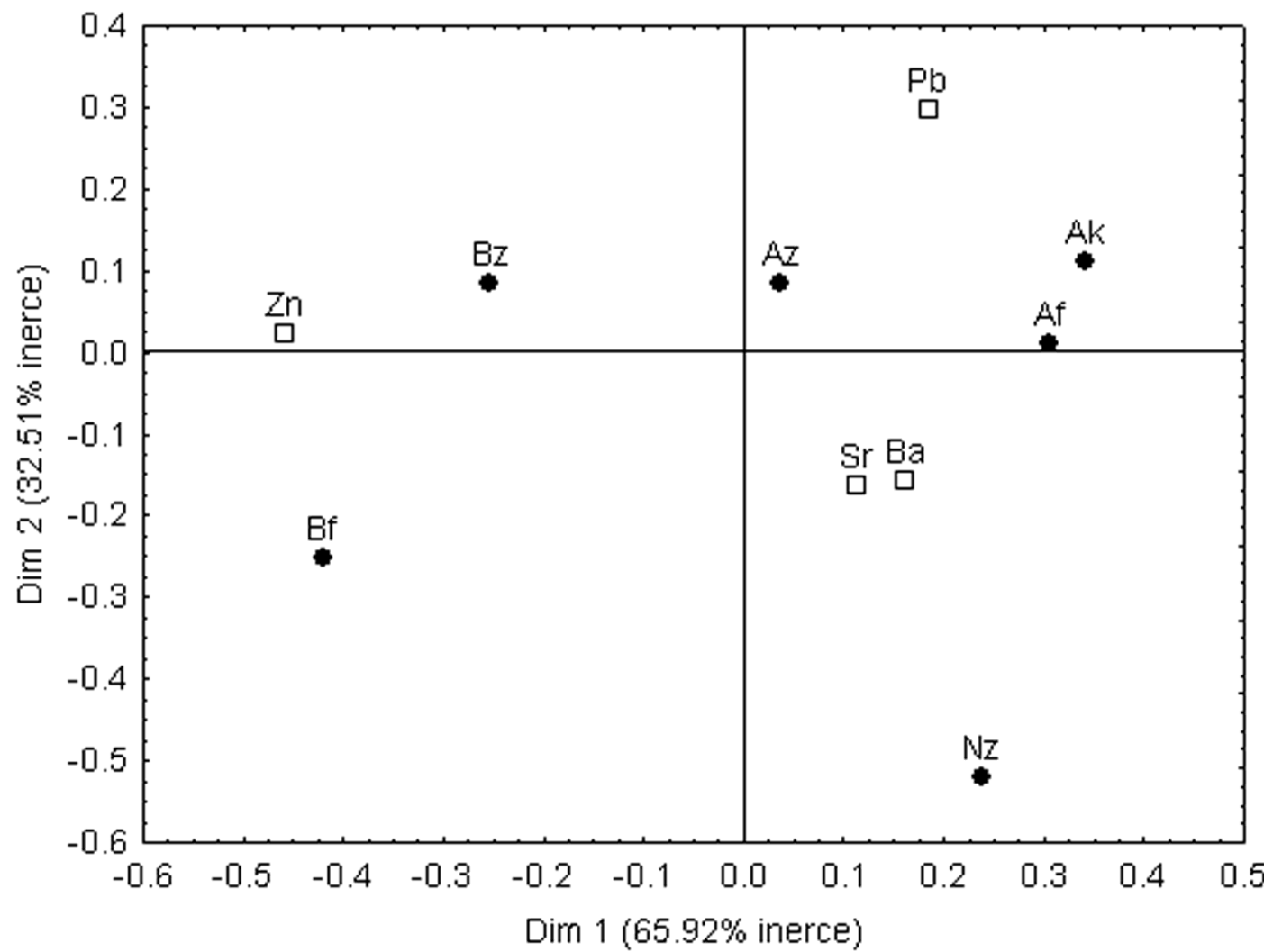
při záchranném archeologickém výzkumu klášterního kostela vyzvednuty na Rajském dvoře kláštera kosterní pozůstatky. Podle názoru autora výzkumu, archeologa R. Snášila, mohly pozůstatky patřit zakladateli kláštera biskupu Janu Filipcovi. Ten měl být původně pohřben před hlavním oltářem, jeho pozůstatky se zde však nenašly (biskupův náhrobek je vsazen do severní stěny presbyteria).

Jan Filipec (†1509) biskup velkoveradínský a správce olomouckého biskupství, diplomat ve službách uherského krále Matyáše Korvína a poté českého a uherského krále Vladislava Jagellonského.

Mauzoleum, kde byl biskup původně pohřben, bylo patrně vykradeno a jeho hrob vypleněn. Pokud se tedy jedná o pozůstatky biskupa, musel být na Rajském dvoře pohřben sekundárně. V hrobě byly nalezeny fragmenty dřevěné rakve s hřebíky, nedovřený zlatý kroužek (snad součást biskupského řetězu) a zvířecí kosti.





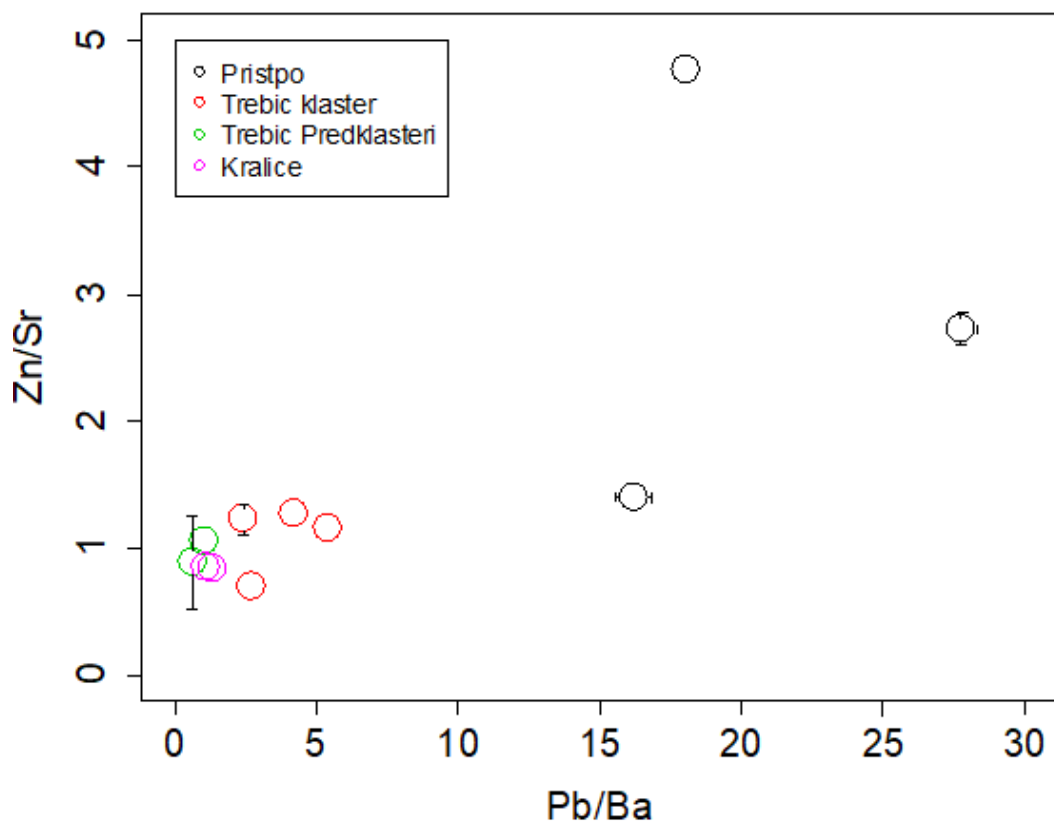


Vysoký obsah Pb v kostech jedince A může být jedním z podpůrných argumentů pro jeho ztotožnění s biskupem Janem Filipcem, který byl velikým milovníkem vína. Z tohoto hlediska je zajímavá historická zpráva o onemocnění biskupa Jana Filipce dnou: toto onemocnění, pokud ovšem nešlo o jinou chorobu, bývá totiž častým symptomem subchronické otravy olovem.

Příštpo

Příštpo je obec ležící cca 3 km jihovýchodně od Jaroměřic nad Rokytnou.

Při kopání sklepa domu č.p. 54 byly nalezeny neúplné kosterní pozůstatky minimálně pěti jedinců mužského pohlaví. Až na jednoho dospělého jedince byli ostatní staří cca 18–20 let.



Vzorek	Kost	Pb ($\mu\text{g}\cdot\text{g}^{-1}$)
Třebíč - klášter	žebro	9.83 ± 1.56
Třebíč - klášter	žebro	22.90 ± 0.88
Třebíč - klášter	žebro	16.32 ± 1.02
Třebíč - klášter	lebka	17.43 ± 0.22
Třebíč - Podklášteří	žebro	7.03 ± 2.74
Třebíč - Podklášteří	lebka	6.96 ± 1.56
Příštpo	žebro	43.79 ± 3.12
Příštpo	žebro	67.39 ± 1.88
Příštpo	žebro	50.07 ± 6.88
Kralice nad Oslavou	žebro	5.00 ± 3.94

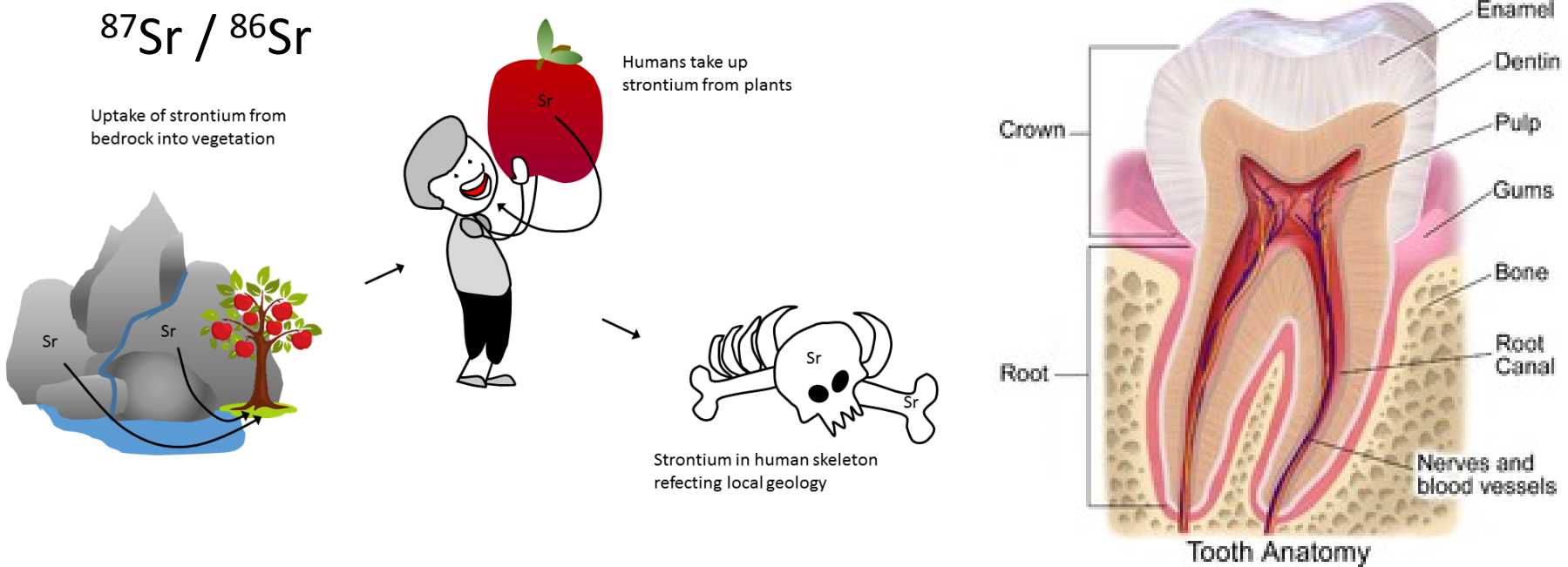
Průzkumem kosterních pozůstatků z hromadného hrobu napoleonských vojáků nalezeného ve Znojmě byl zjištěn nízký věk pohřbených jedinců.



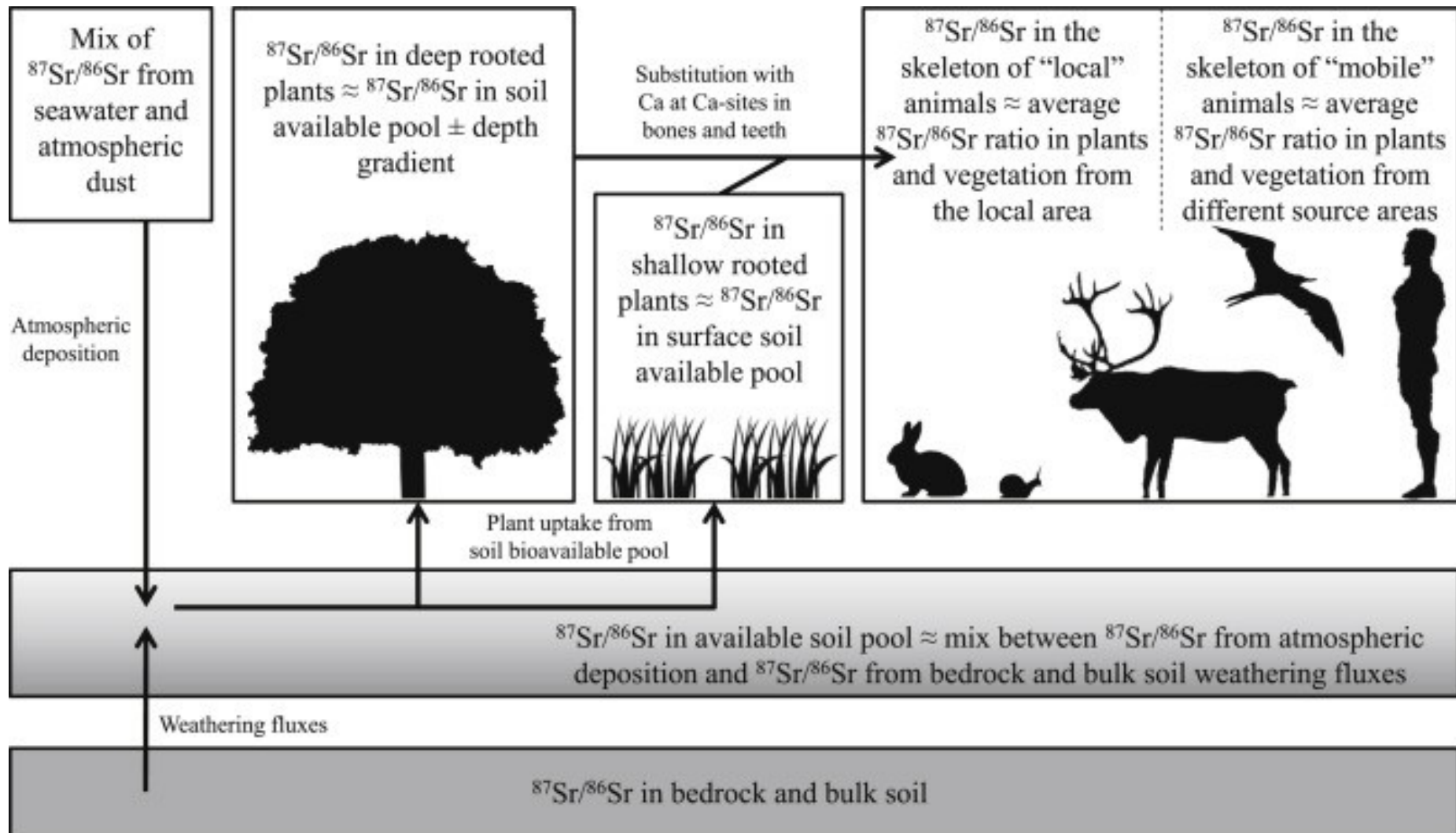
Nález z Příštpa je hromadný hrob francouzských (?) vojáků po bitvě u Znojma roku 1809, kteří zemřeli cestou do lazaretu v Jaroměřicích nad Rokytnou.

Poměr izotopů stroncia ($^{87}\text{Sr} / ^{86}\text{Sr}$)

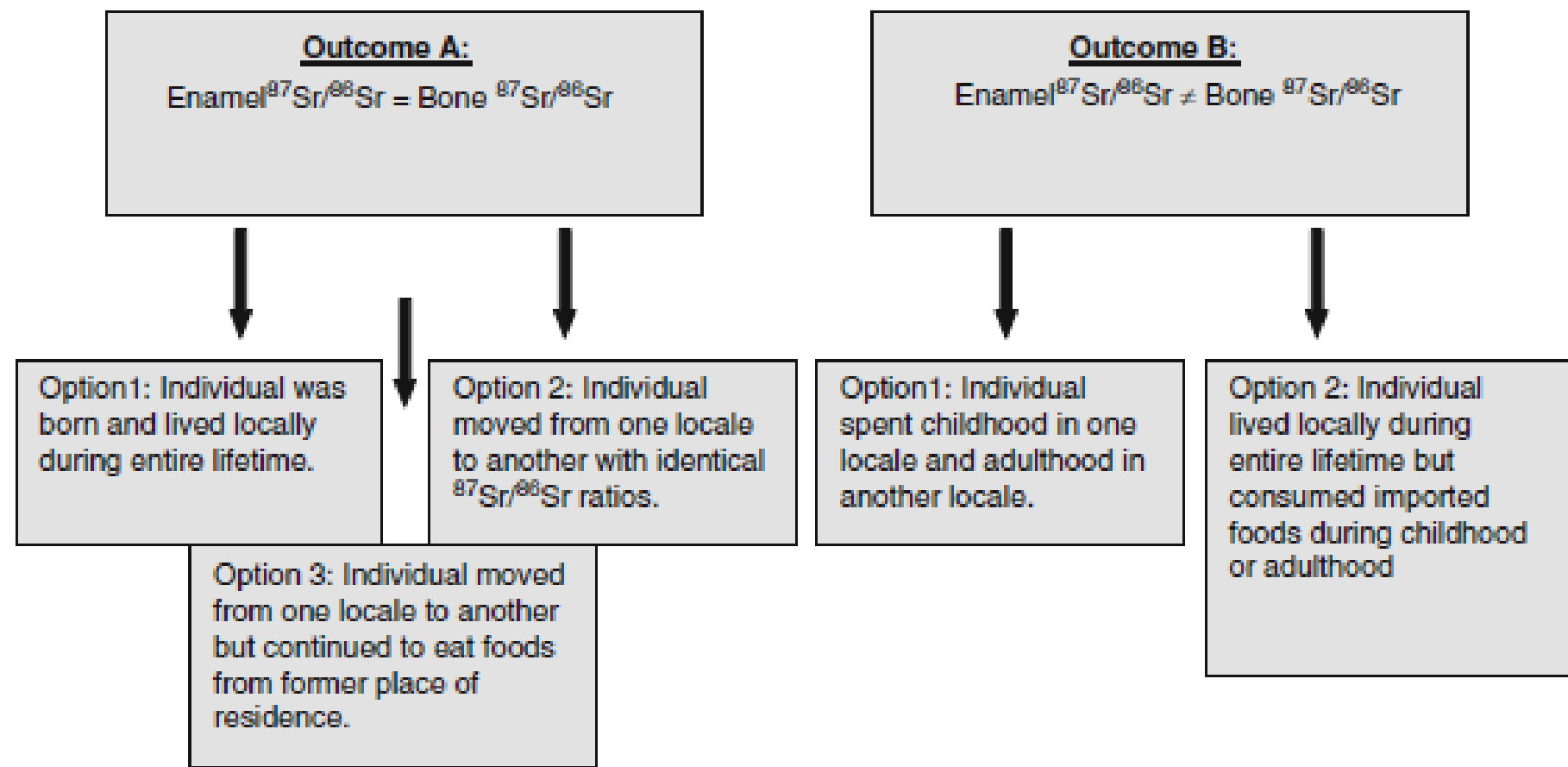
Poměr stabilních izotopů stroncia ($^{87}\text{Sr} / ^{86}\text{Sr}$) primárně závisí na geologickém stáří a následných geochemických procesech (např. přeměna hornin, smísení hornin různého stáří, apod.). To vede ke vzniku lokálních rozdílů v poměru $^{87}\text{Sr} / ^{86}\text{Sr}$.



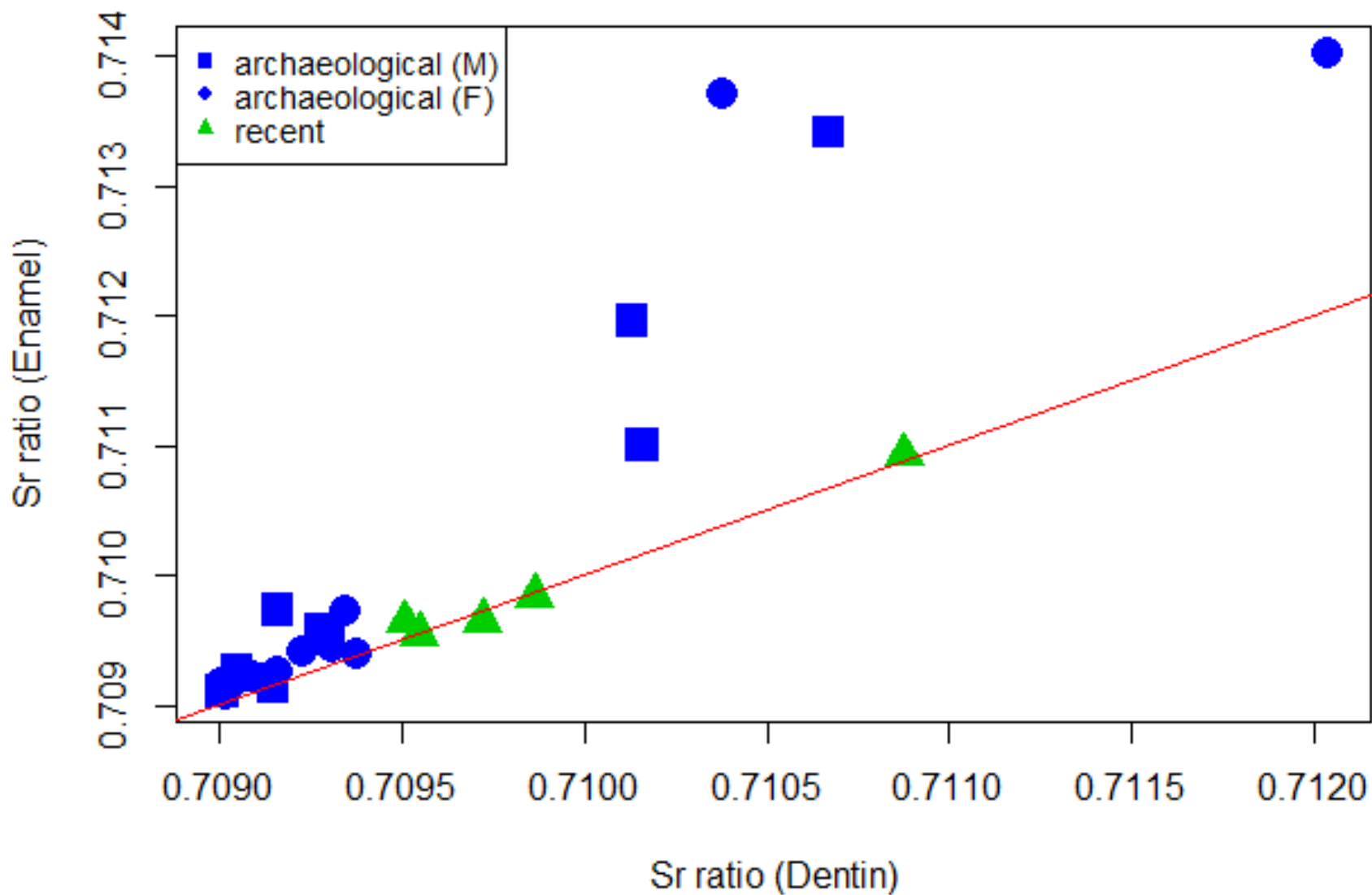
Poměr izotopů stroncia ($^{87}\text{Sr} / ^{86}\text{Sr}$)



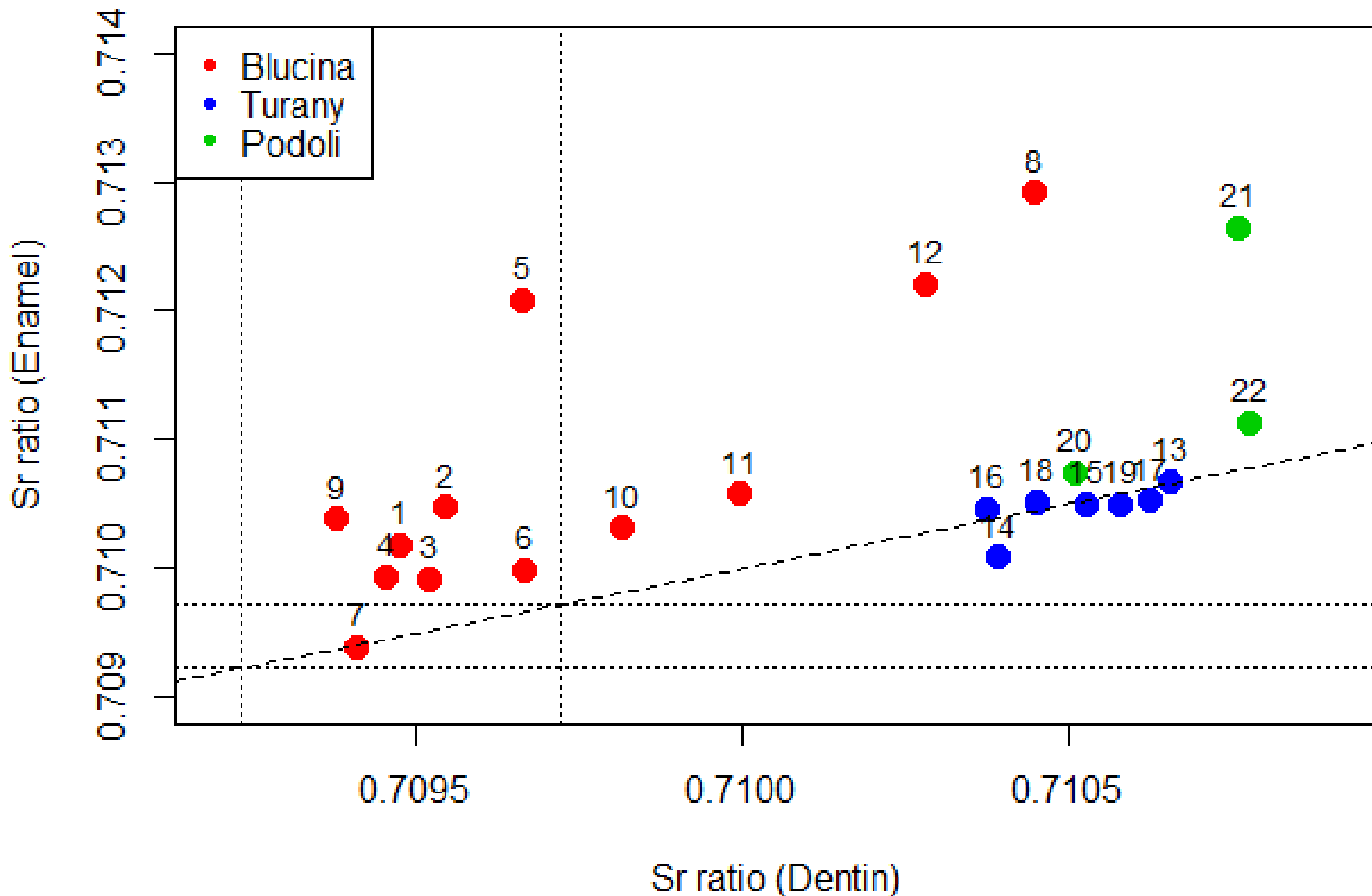
Interpretace



De Heul (Wijk bij Duurstede), raný středověk



Blučina, Tuřany a Podolí (mladší doba bronzová)

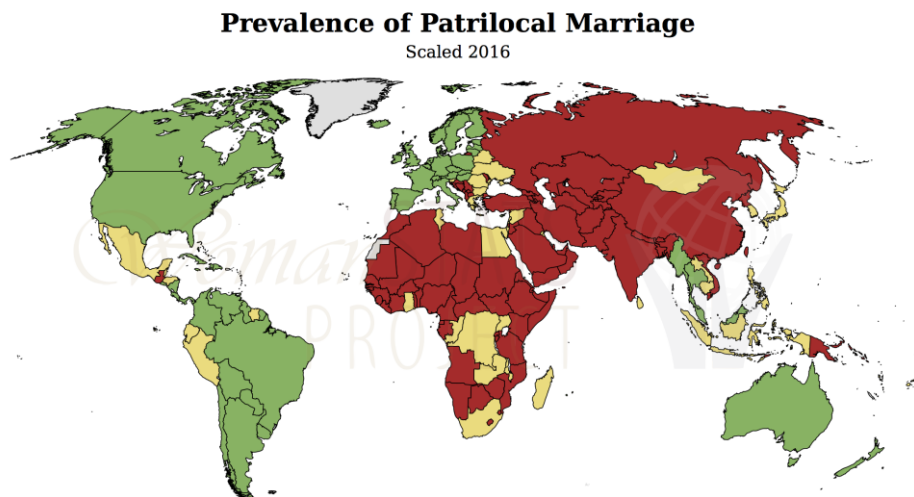


Výrazný rozdíl v izotopových poměrech ve sklovině a dentinu jedince 12 z Blučiny a jedince 14 z Tuřan může souviset s jejich **ženským pohlavím** (u juvenilních jedinců 8 a 21 nebylo pohlaví možno určit).



patrilokální exogamie

(nevěsta přichází do rodiny manžela, pro středoevropskou dobu bronzovou byla patrilokalita typická)

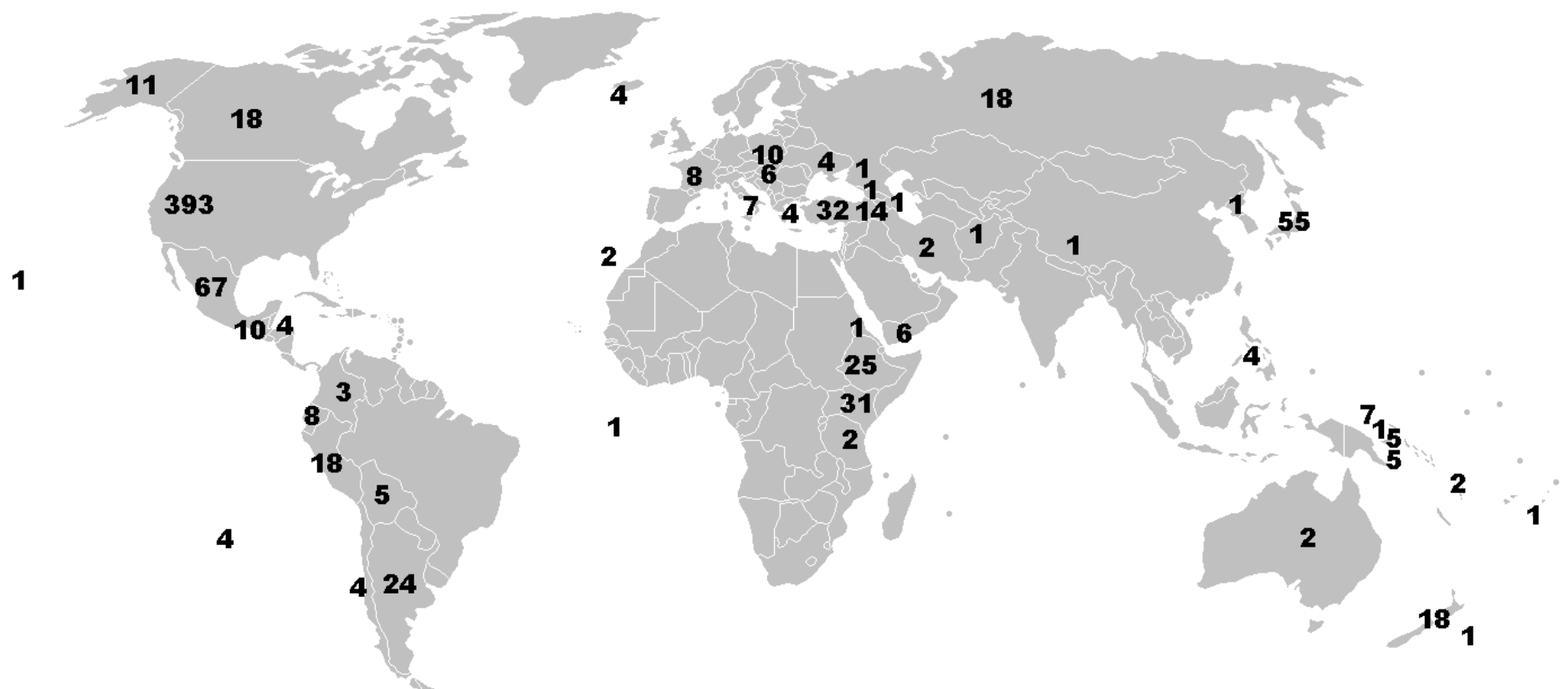


MARR-SCALE-1
Data The WomanStats Project
<http://womanstats.org>

- [Green square] No expectation of living with either his or her family (no evidence that more than 5% of marriages are patrilocal)
- [Yellow square] Softening patrilocality, a young couple may be expected in exigency to live with his family. More than 5%, but less than or equal to 20%
- [Dark Red square] Strong presence of patrilocality: young couples are expected to live with the husband's family, greater than 20% of marriage
- [Grey square] No Data

Obsidián

Obsidián je druh sopečného skla, horniny, která vzniká následkem magmatické činnosti, kdy dojde k rychlému kontaktu žhavé kyselé a viskózní lávy s chladným prostředím a následnému rychlému utuhnutí.

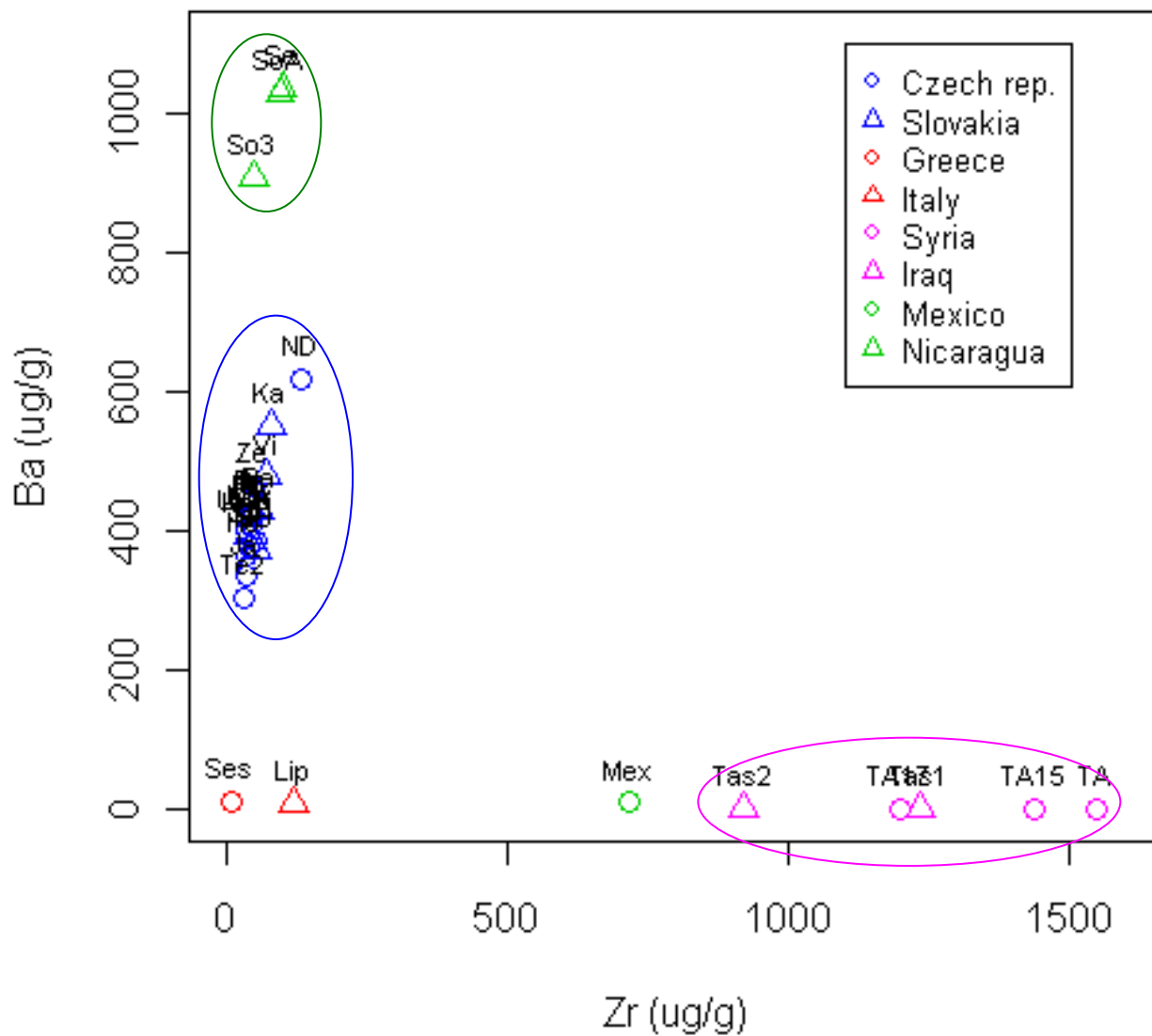


Analyzované vzorky

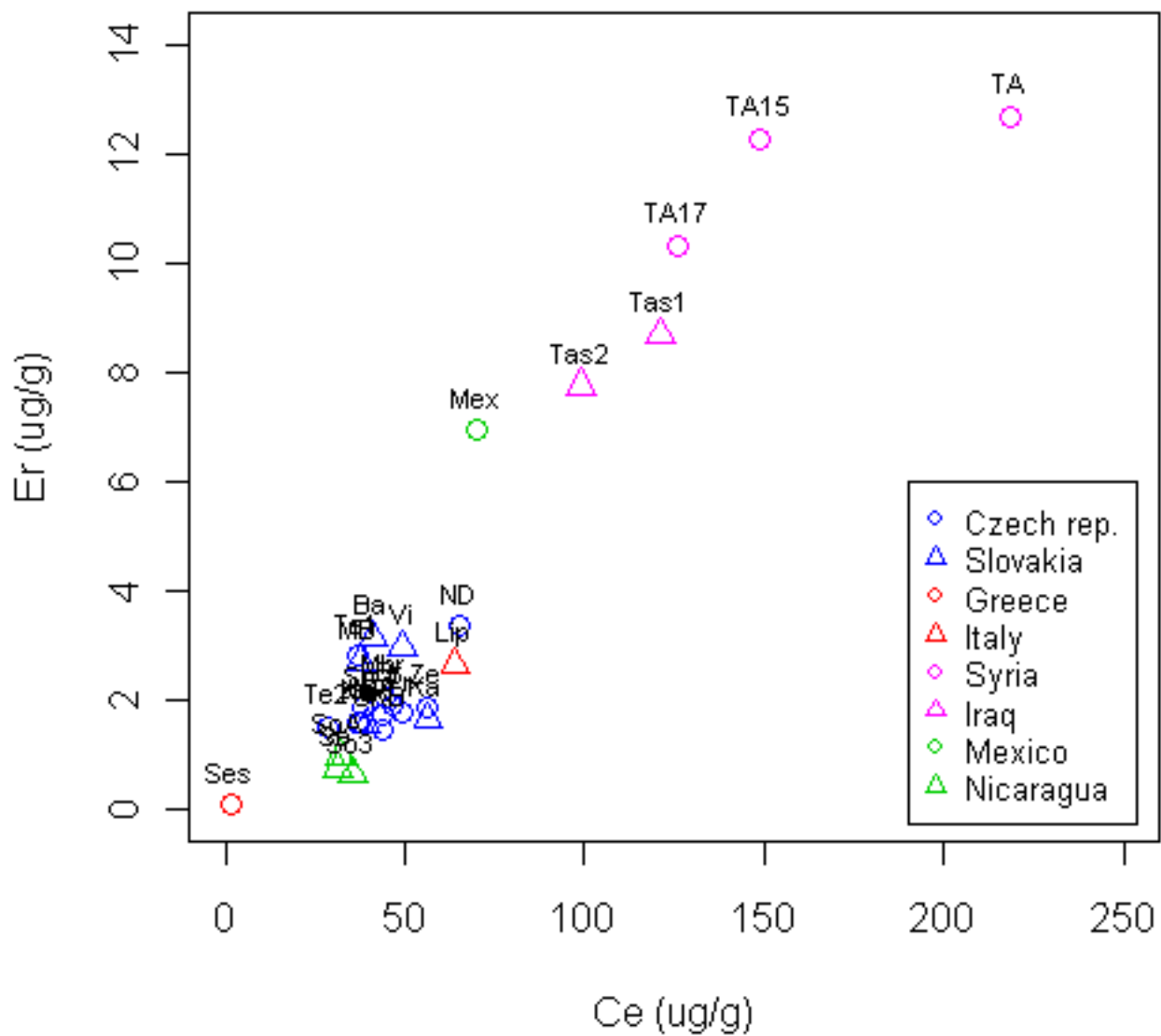


Digitized by Google

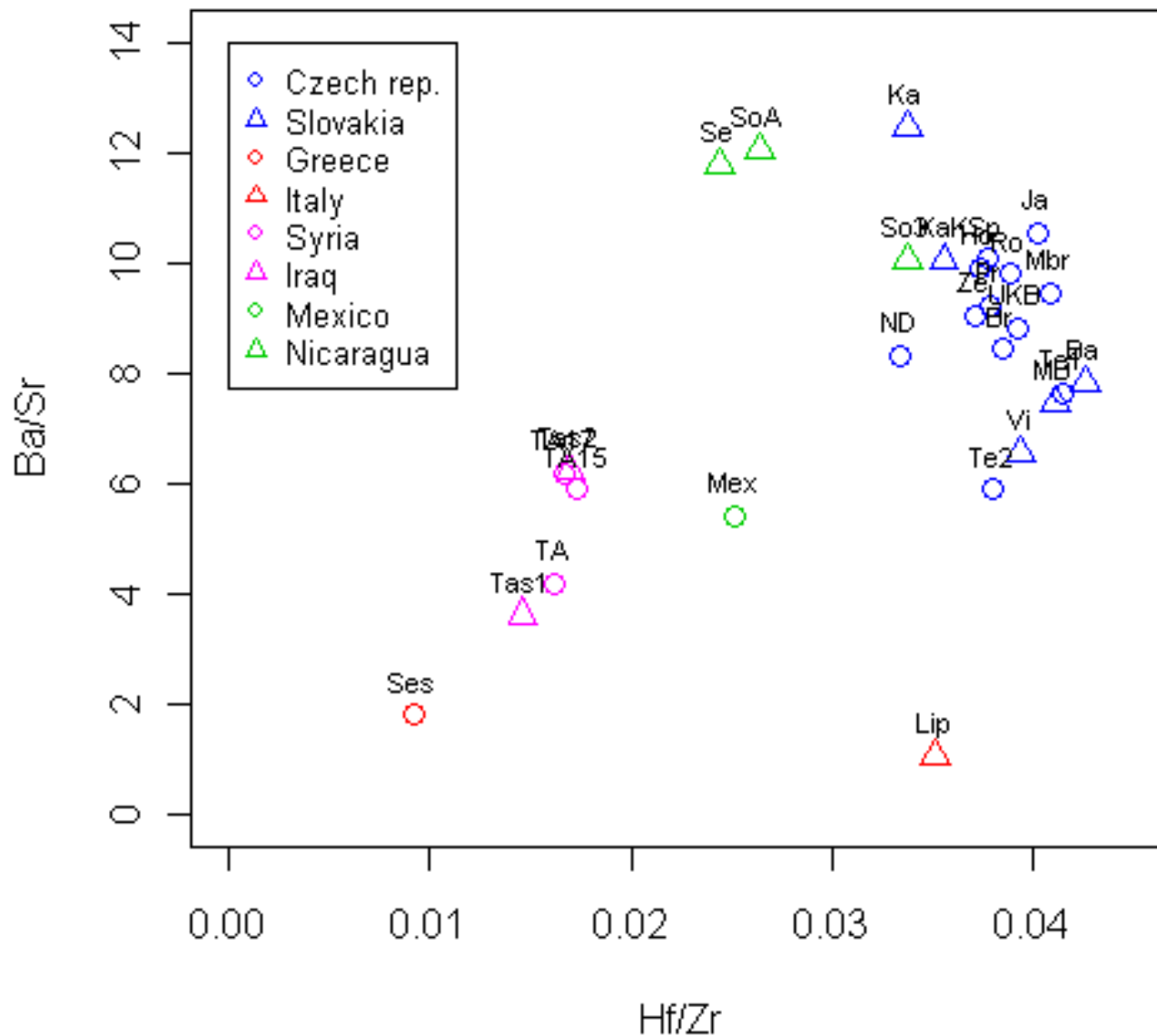
Scatterplot (Zr vs. Ba)



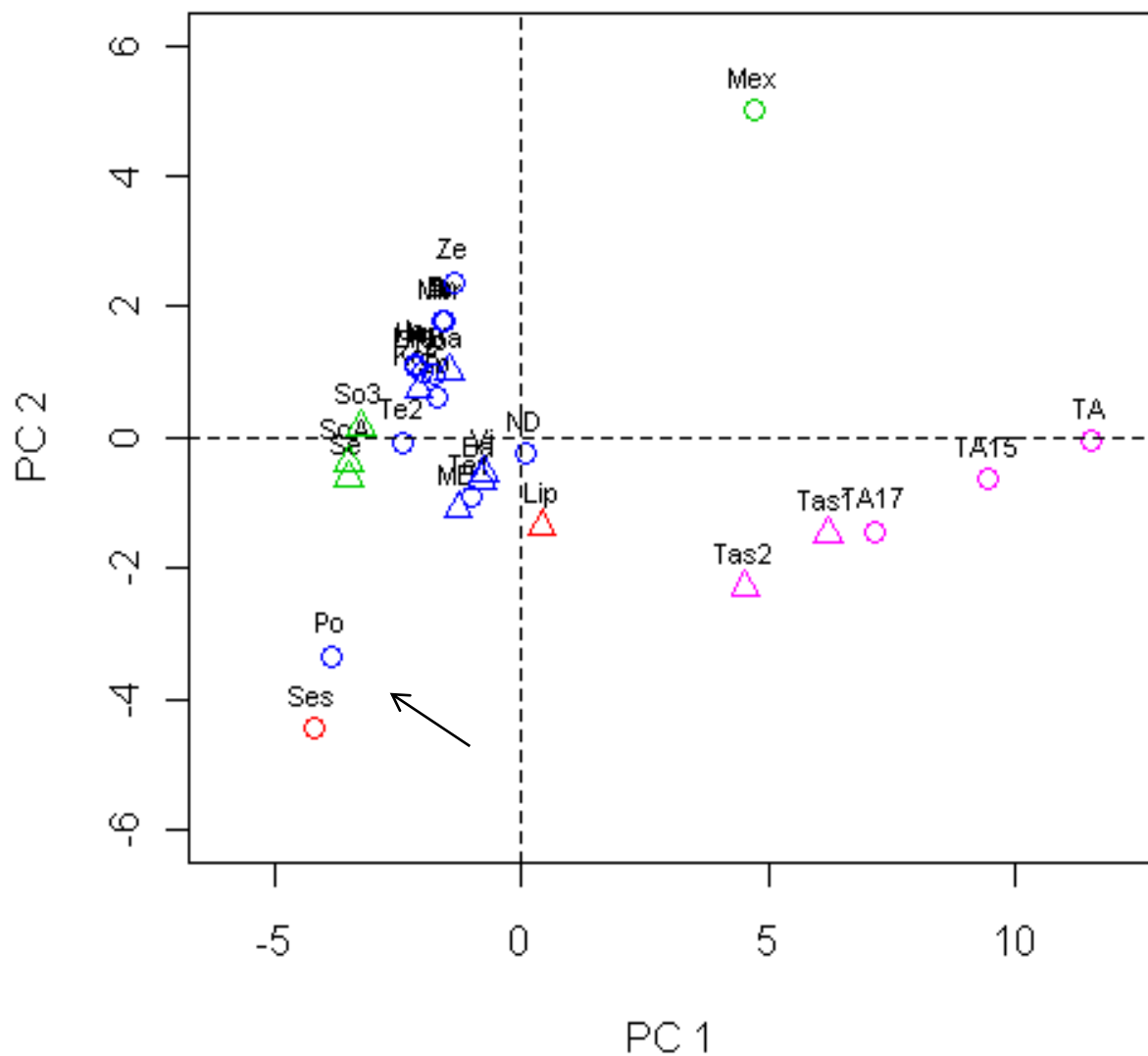
Scatterplot (Ce vs. Er)



Scatterplot (Hf/Zr vs. Ba/Sr)

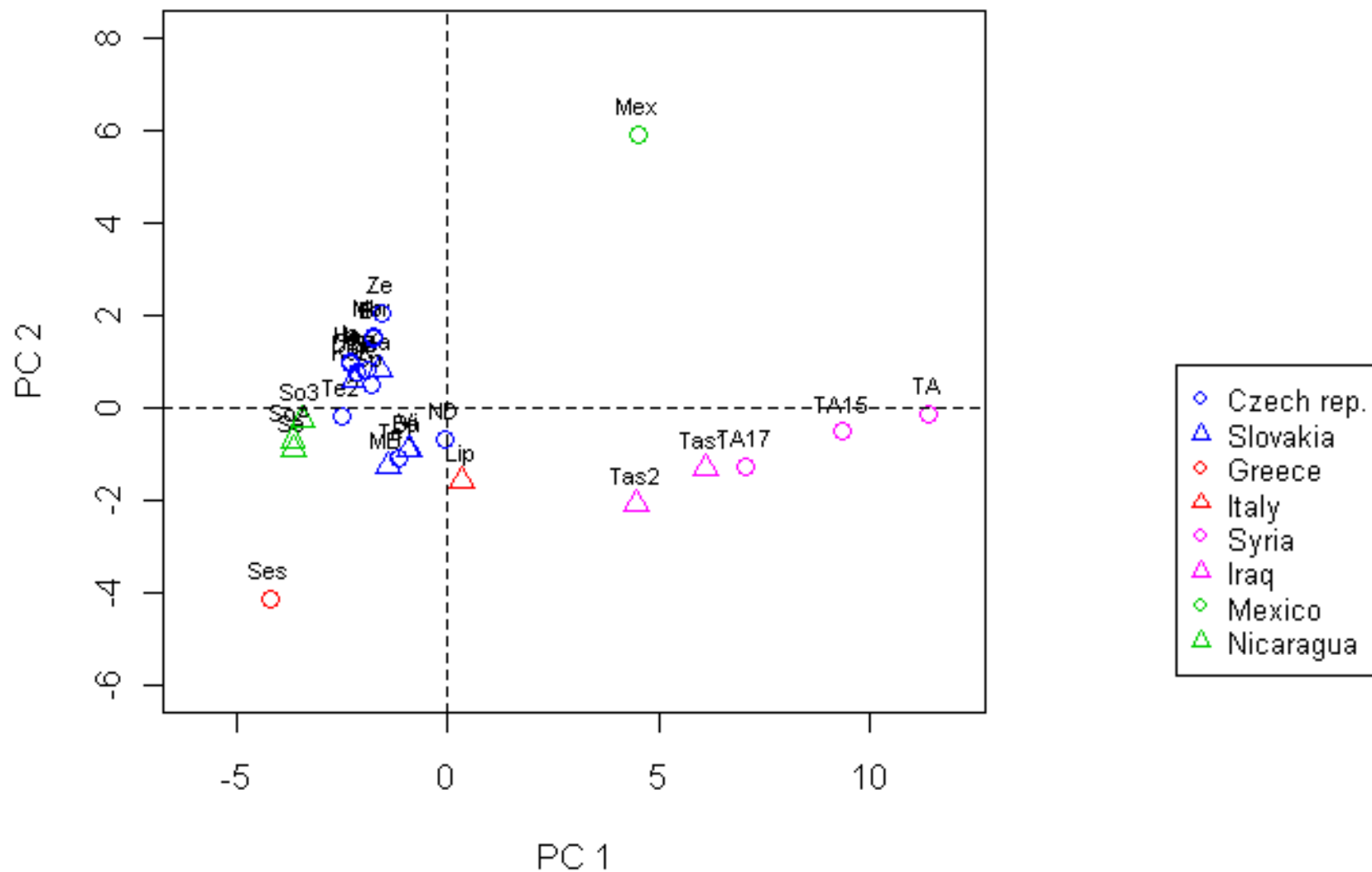


PCA classical (scores)

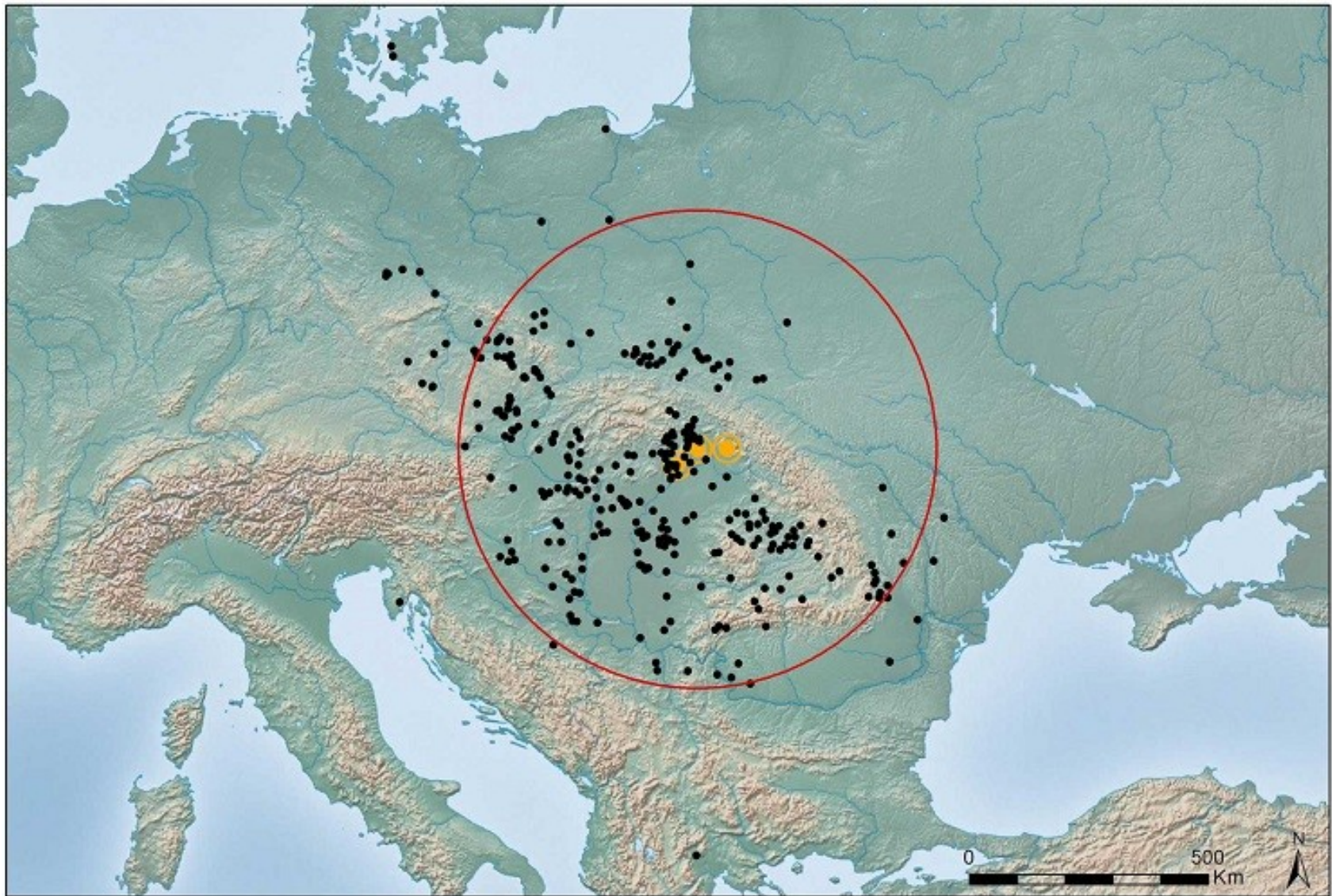


Element	Content [mg kg ⁻¹]
Na	7545.511
Mg	87.26532
Al	15103.68
Si	91507.3
P	20.45951
K	618666.5
Ca	1624.135

PCA classical (scores)



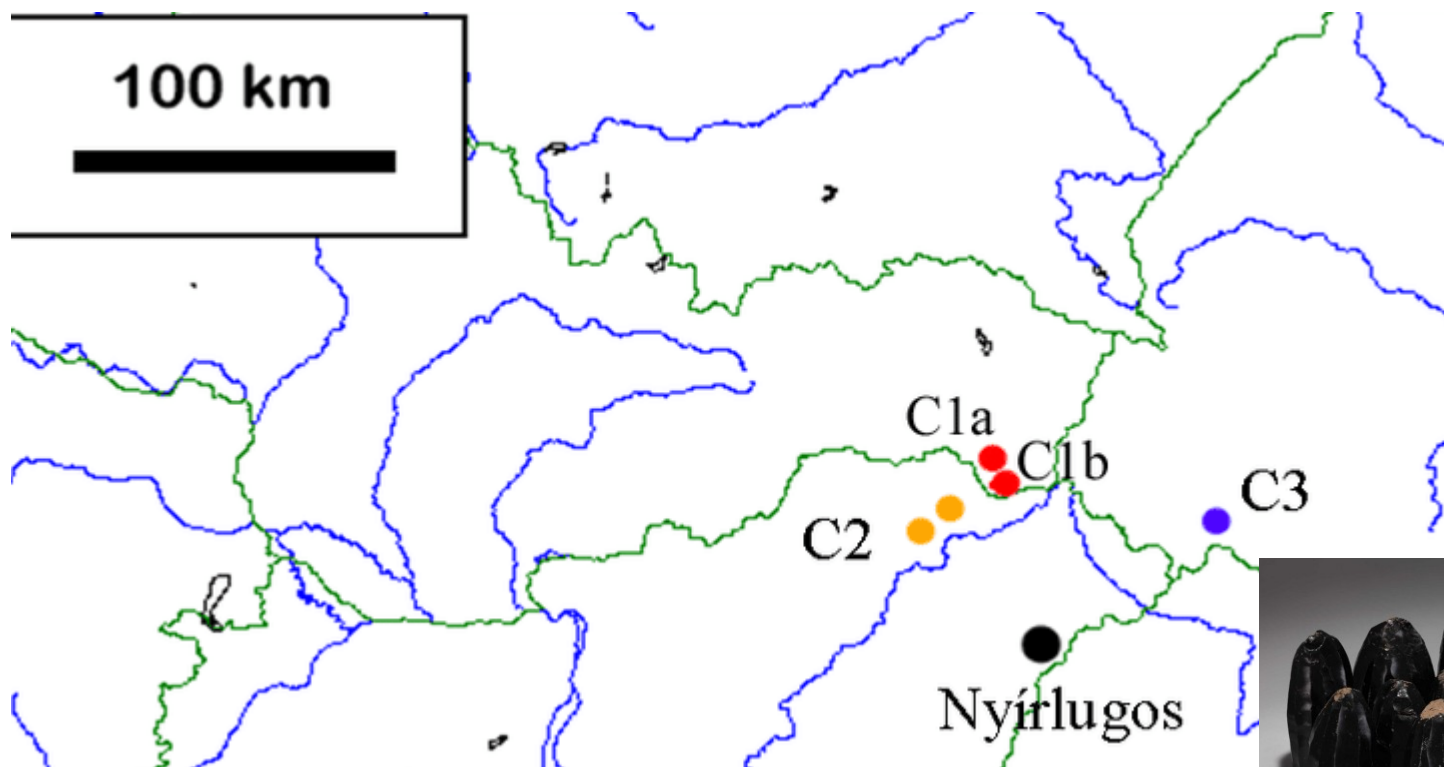
Provenience obsidiánu



Viničky
Slovakia



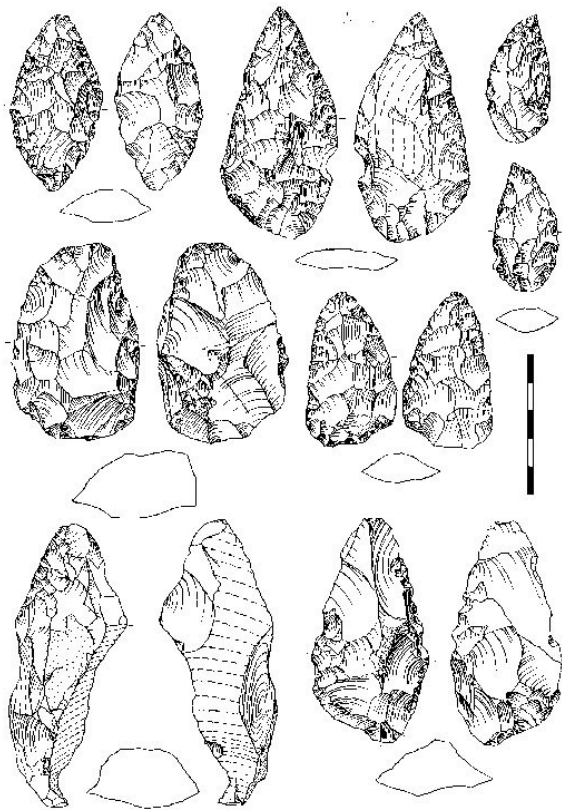
Kašov
Slovakia



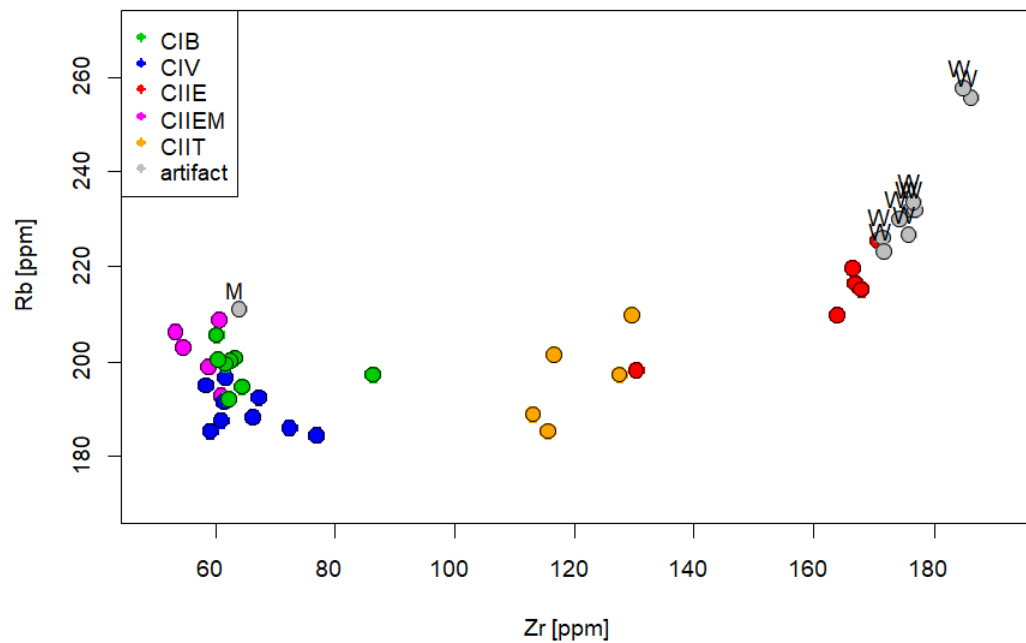
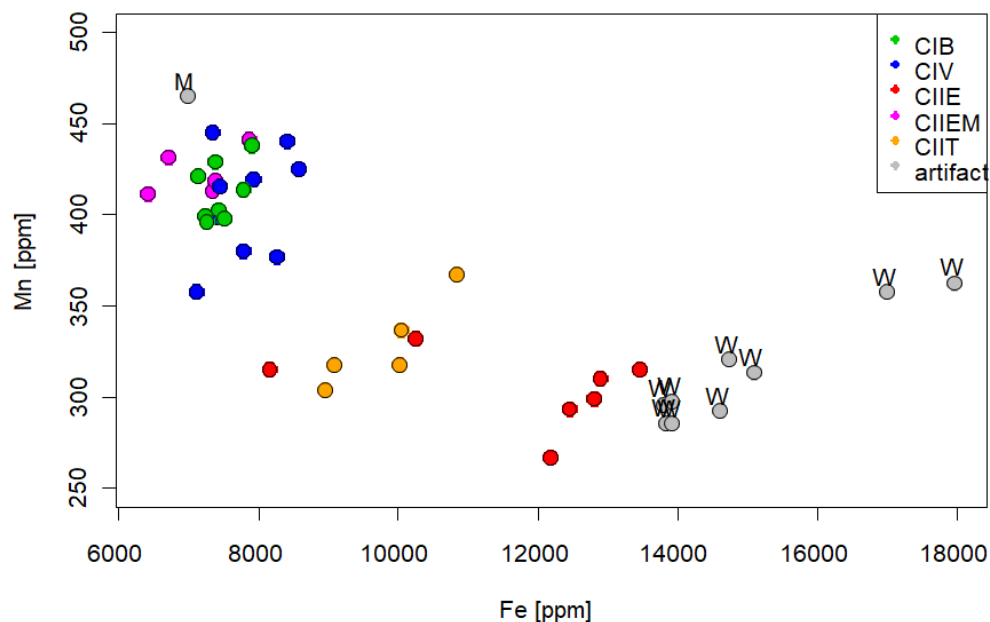
Chronologie paleolitu

stáří (ka BP; nekalibrováno)	fáze	kultura
43-33	nejstarší („tranzitní“) (IUP)	szeletien bohunicien
38-27	starší (EUP)	aurignacien
		<i>prvky streleckienu, aj.</i>
30-20	střední (MUP)	gravettien
18-11	pozdni (LUP)	<i>epiaurignacien</i> <i>epigravettien</i> magdalénien

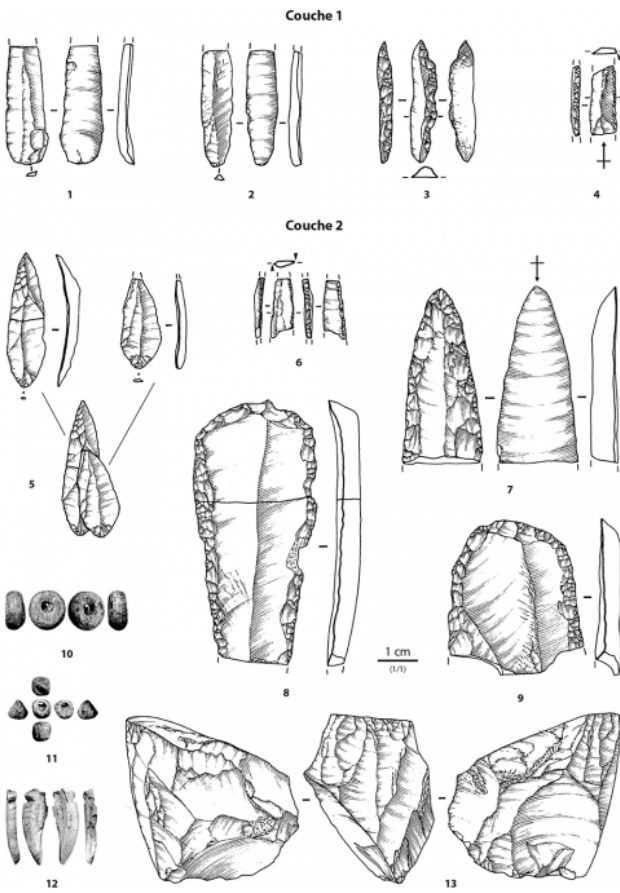
Szeletien



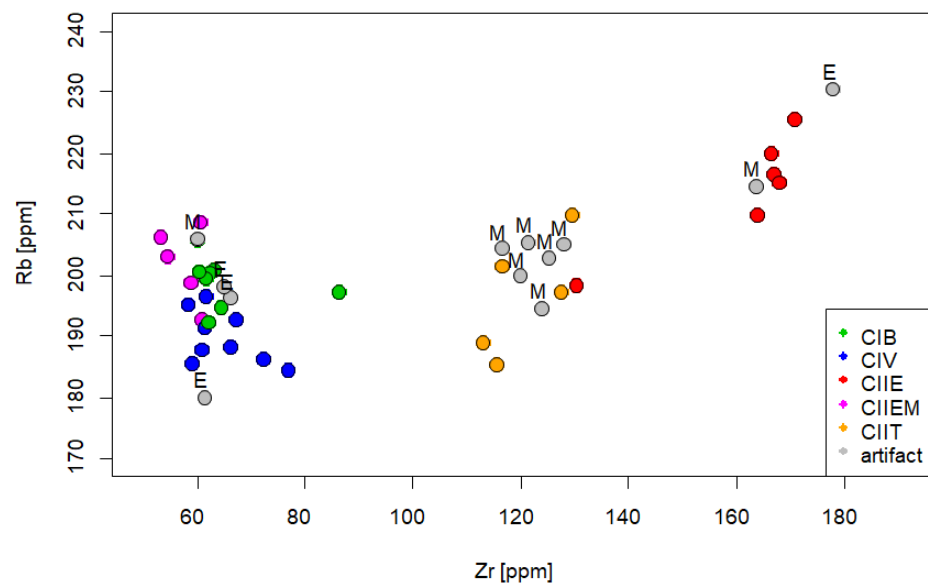
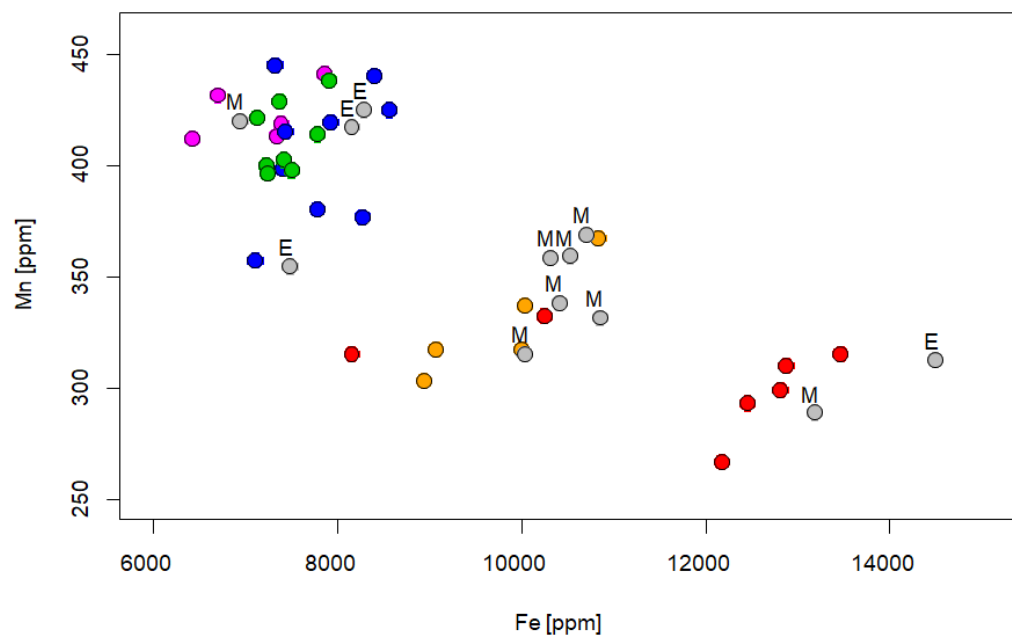
Szeletian



Aurignacien



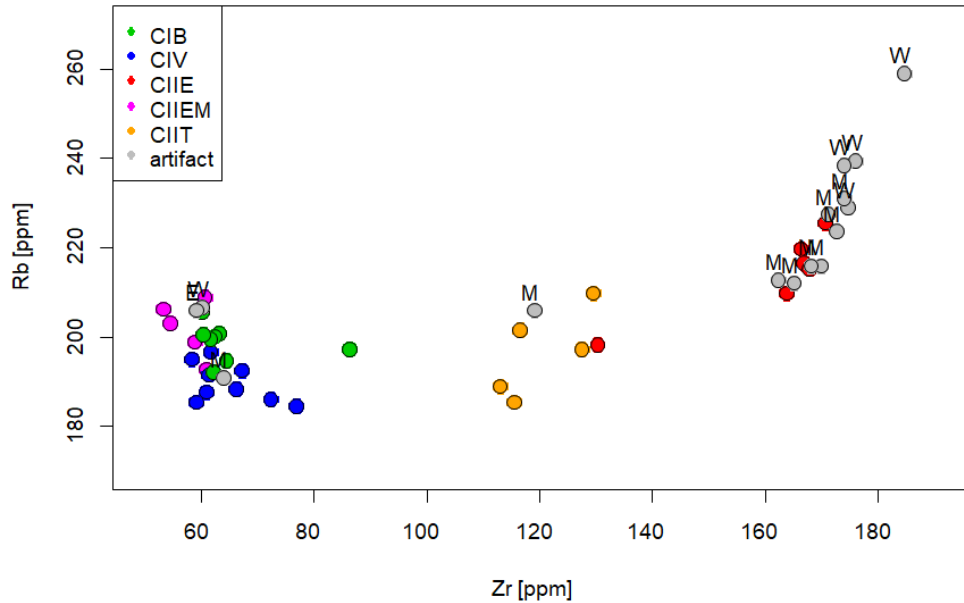
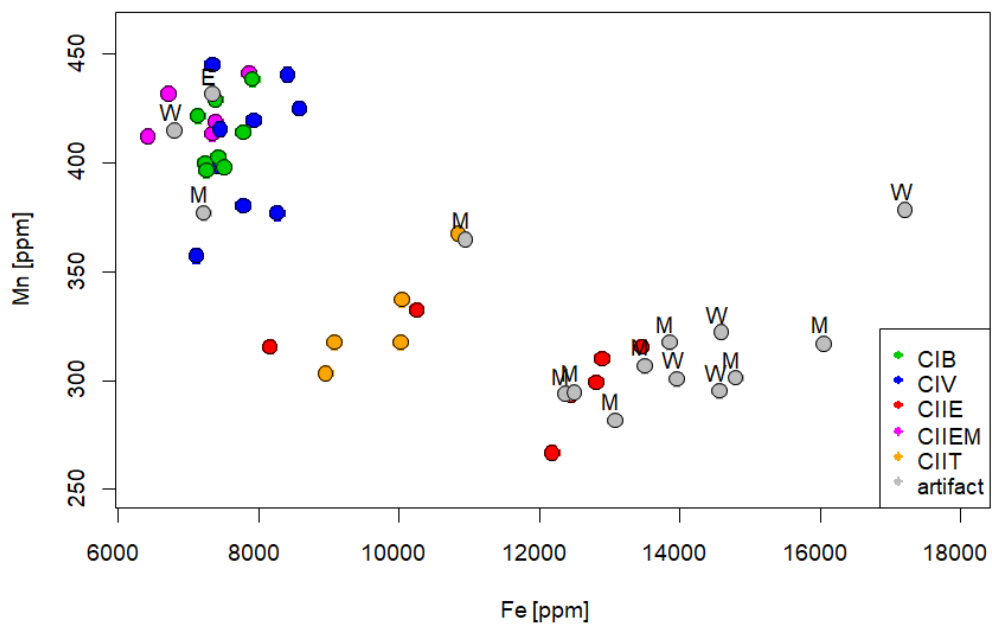
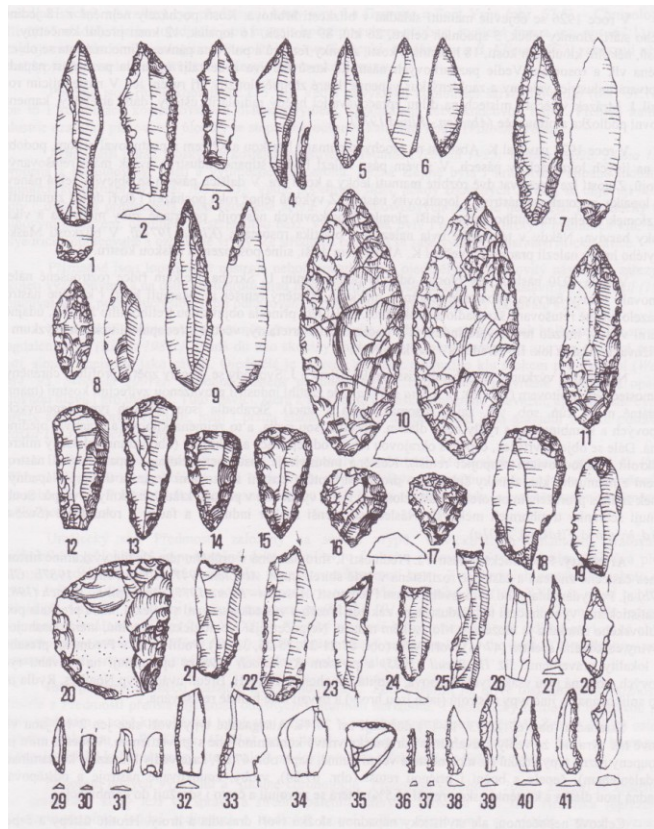
Aurignacian



CIB	●
CIV	▲
CIIE	◆
CIIEM	■
CIIT	○
artifact	○

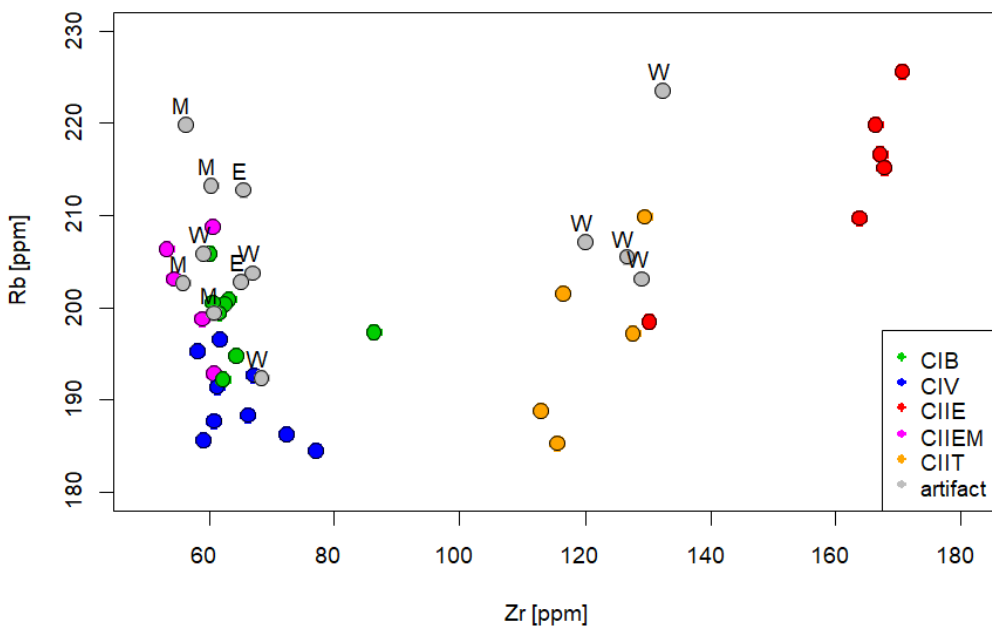
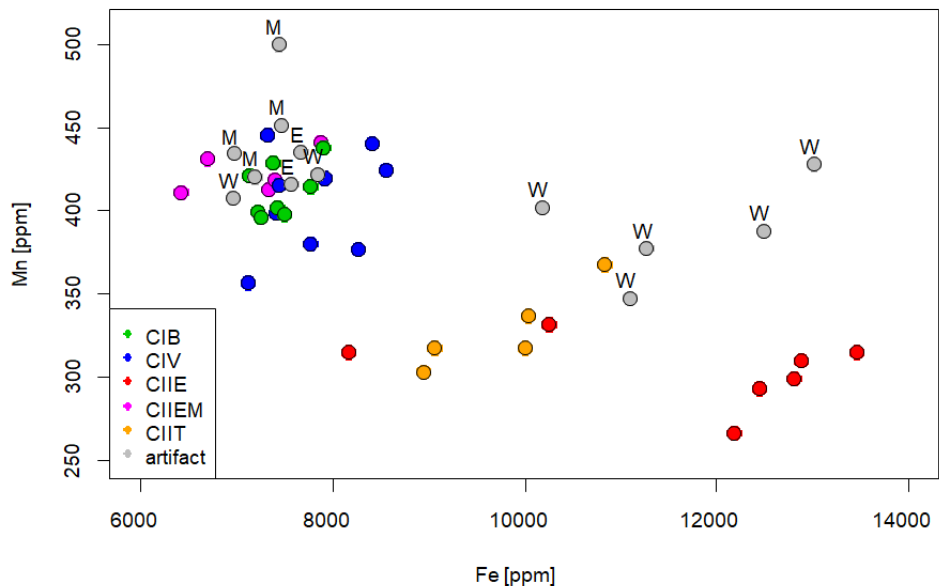
Gravettian

Gravettien

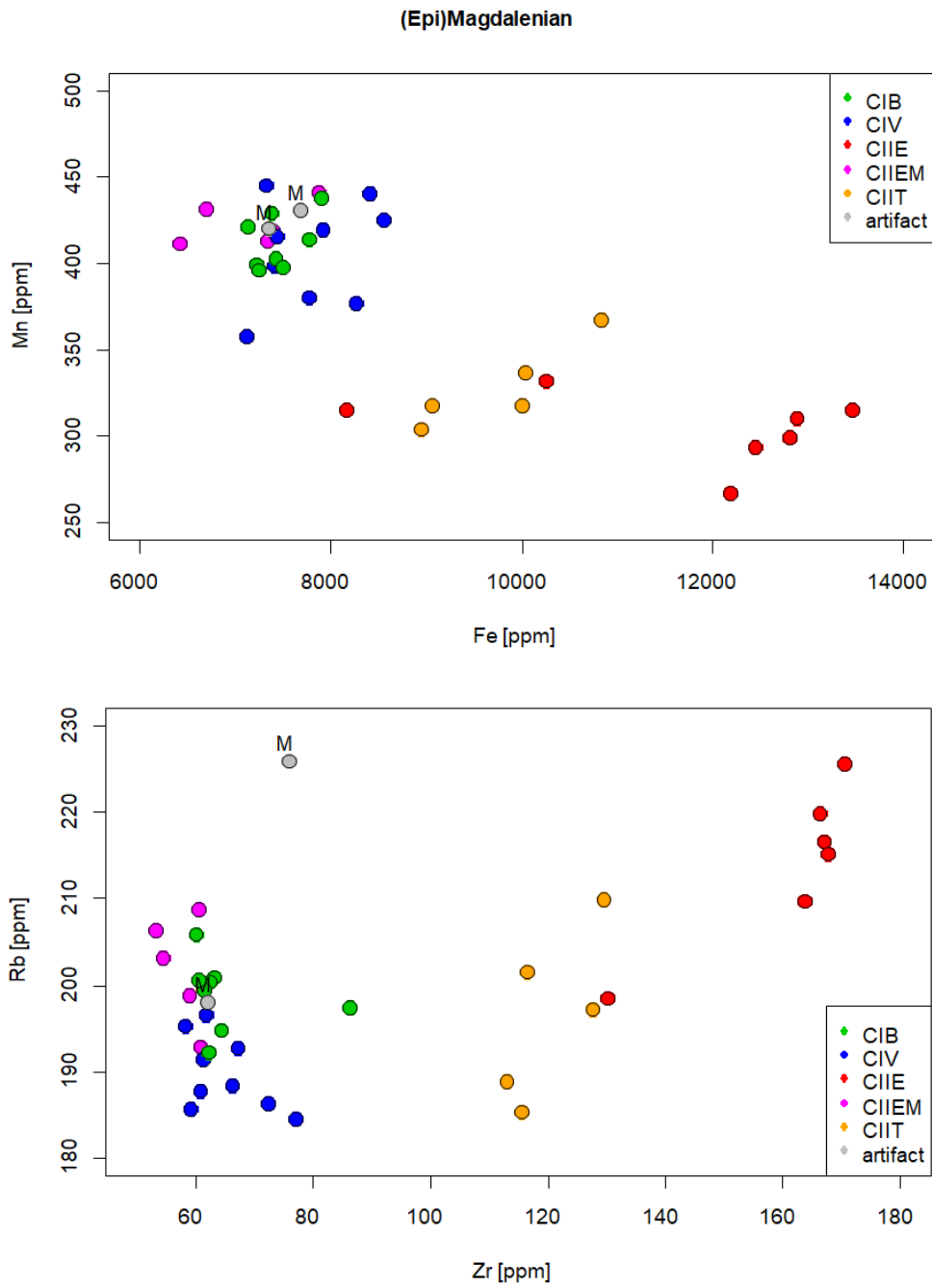
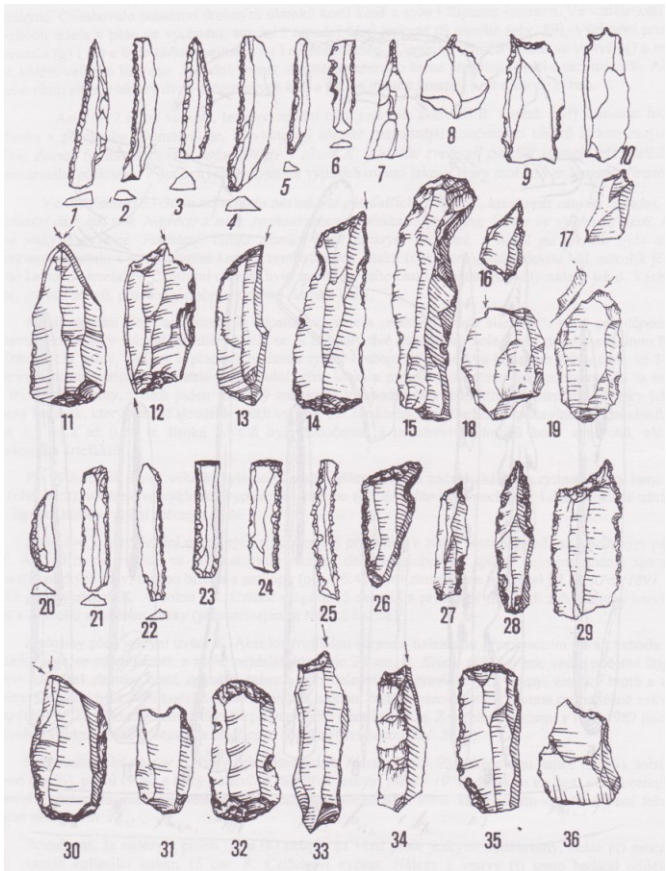


Epigravettian

Epigravettien

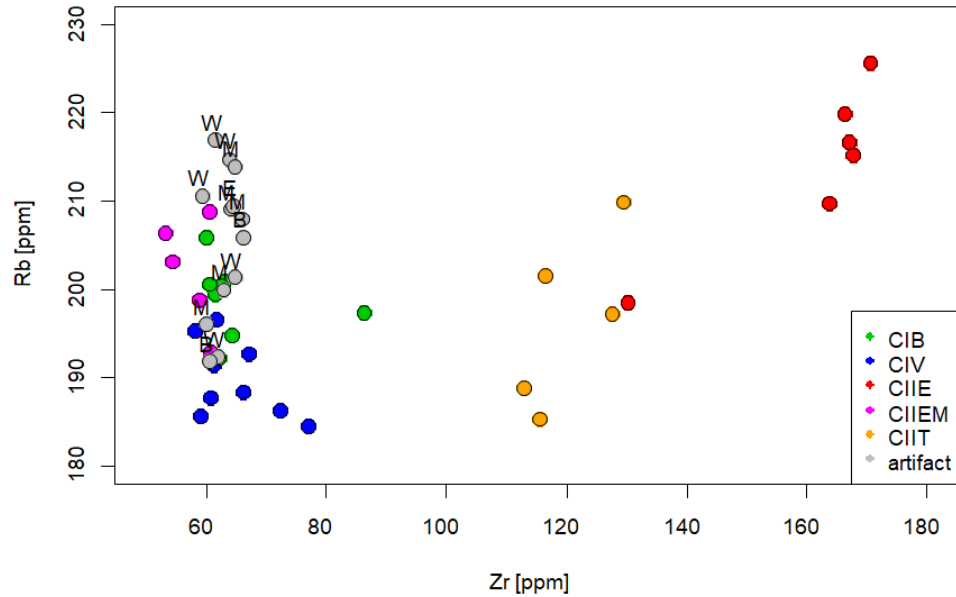
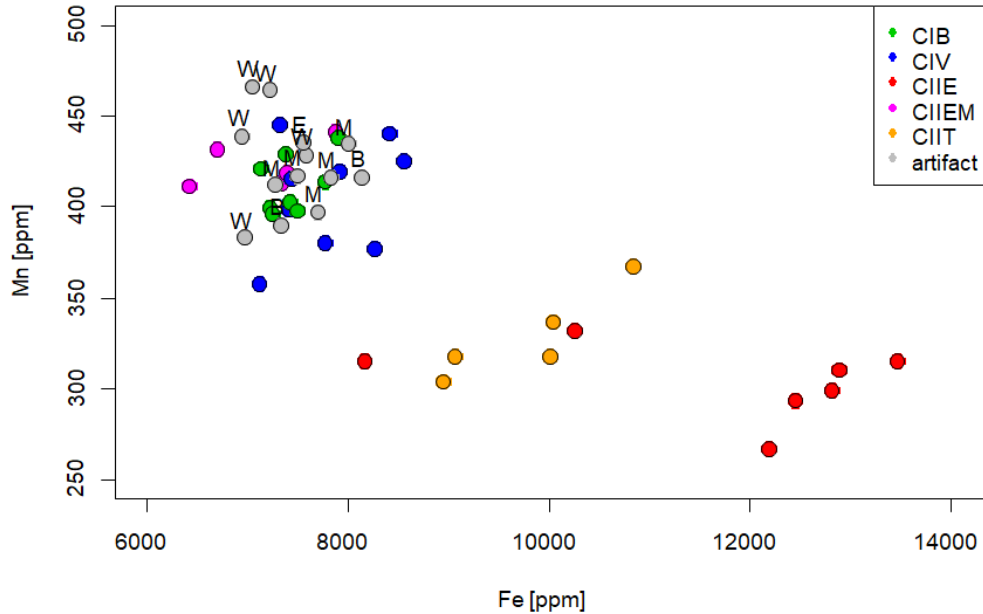
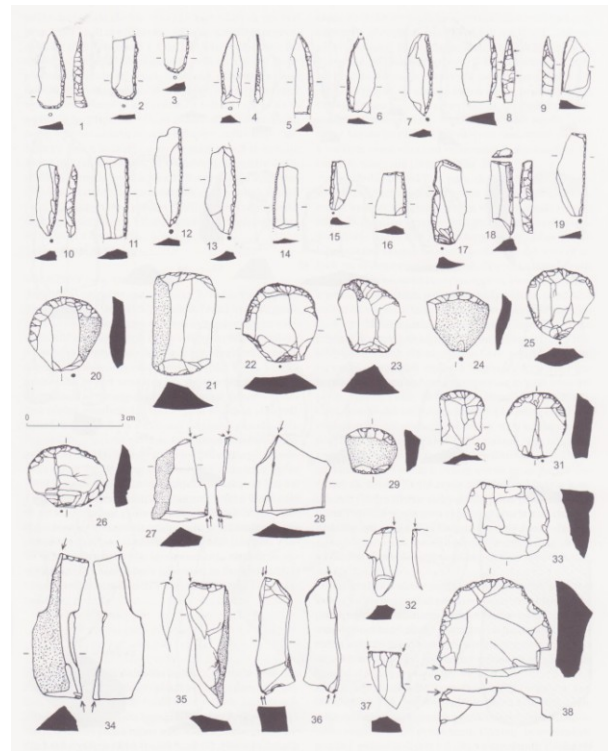


Epimagdalenien



Late Paleolithic - Mesolithic

Pozdní paleolit a mezolit

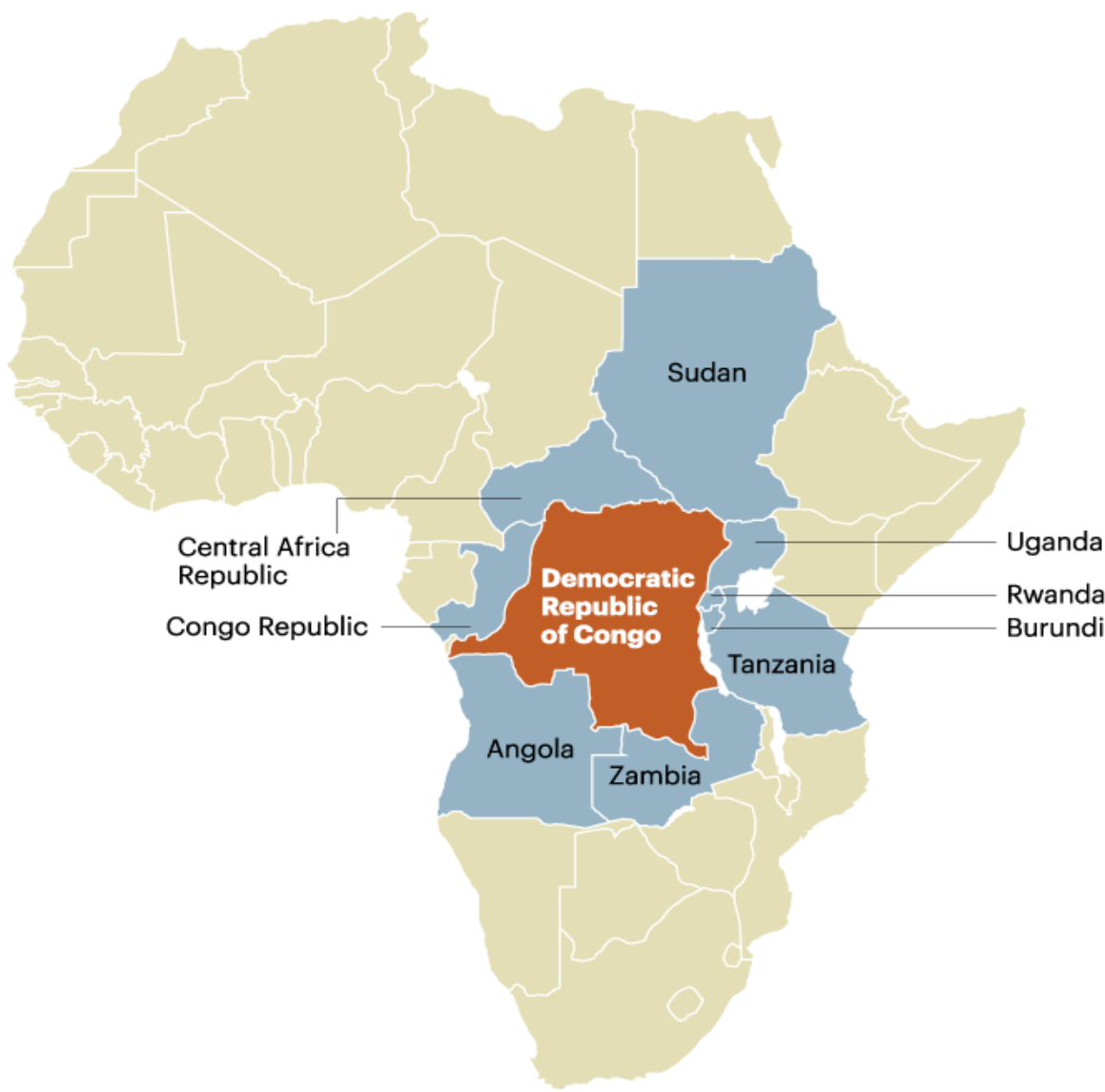


„Conflict minerals“



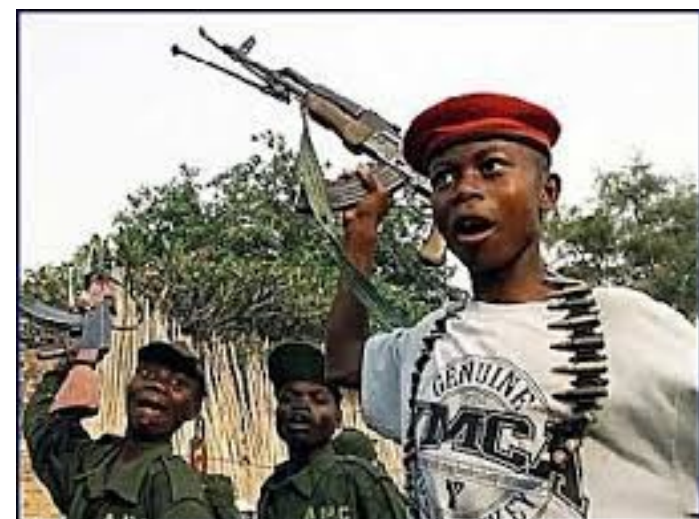
Figure 1

Democratic Republic of Congo and adjoining countries



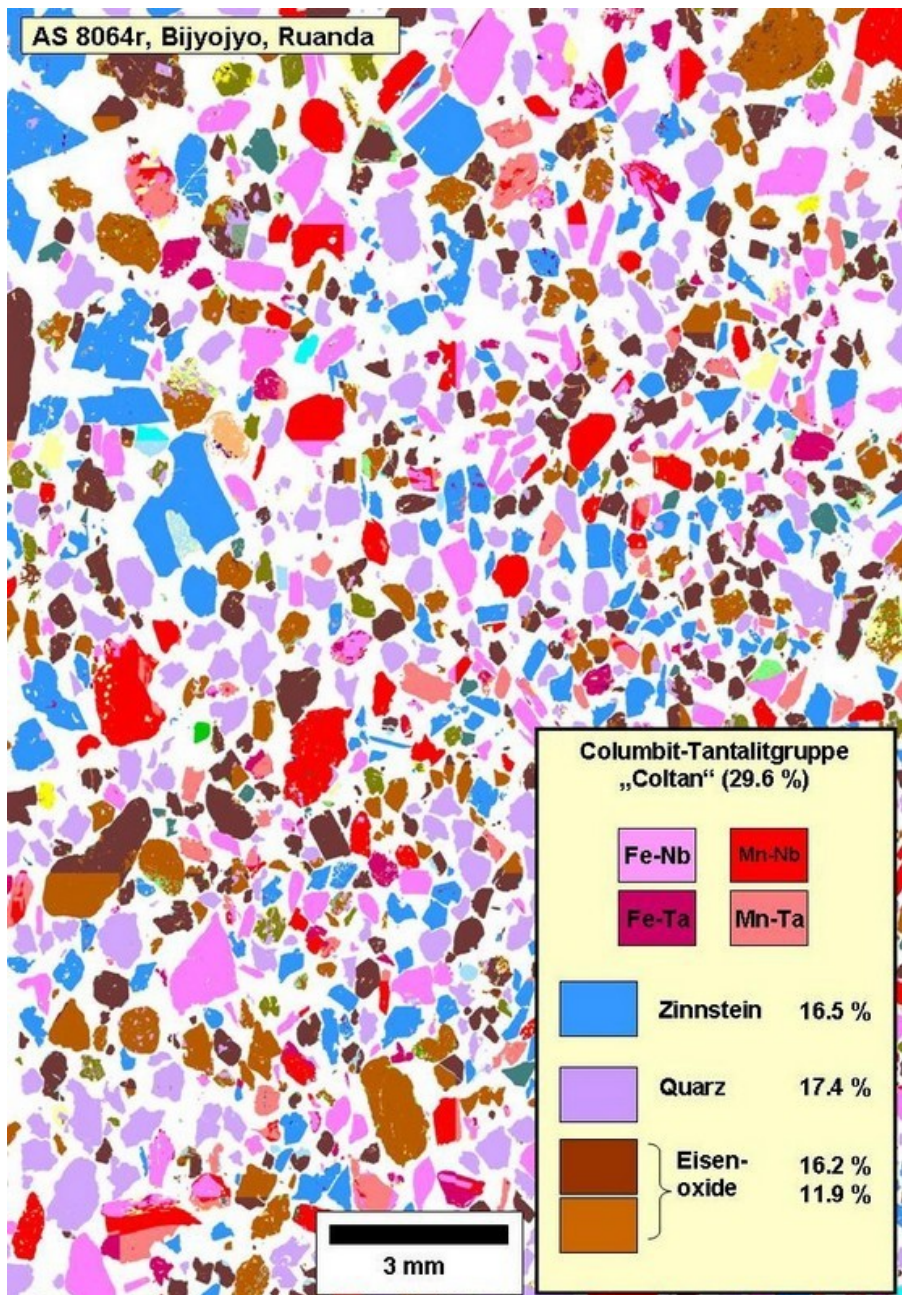
Global production

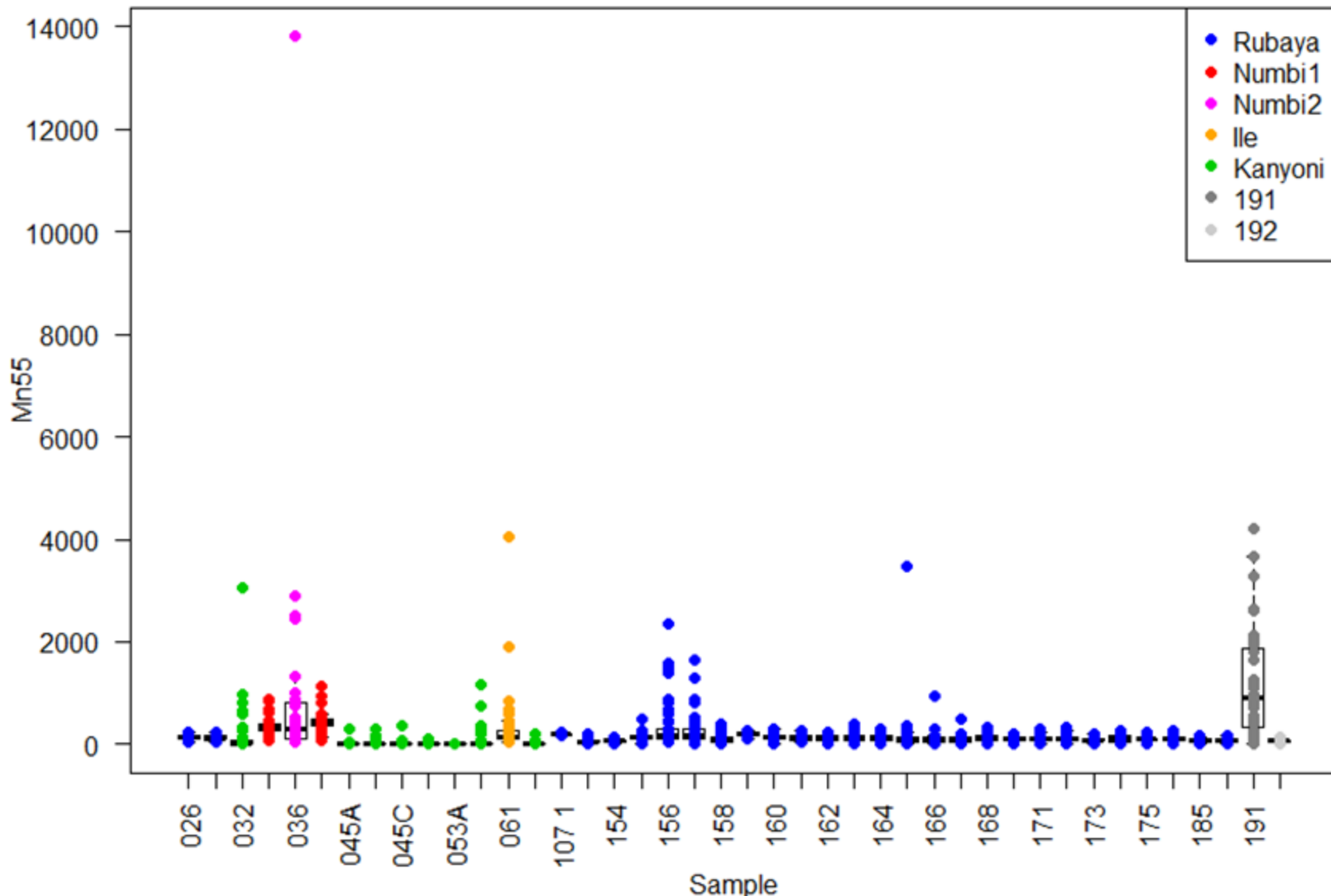
Ta	Tantalite (Columbite)	32.4%
Sn	Tin (Cassiterite)	4.0%
Au	Gold	0.7%
W	Tungsten (Wolframite)	1.4%

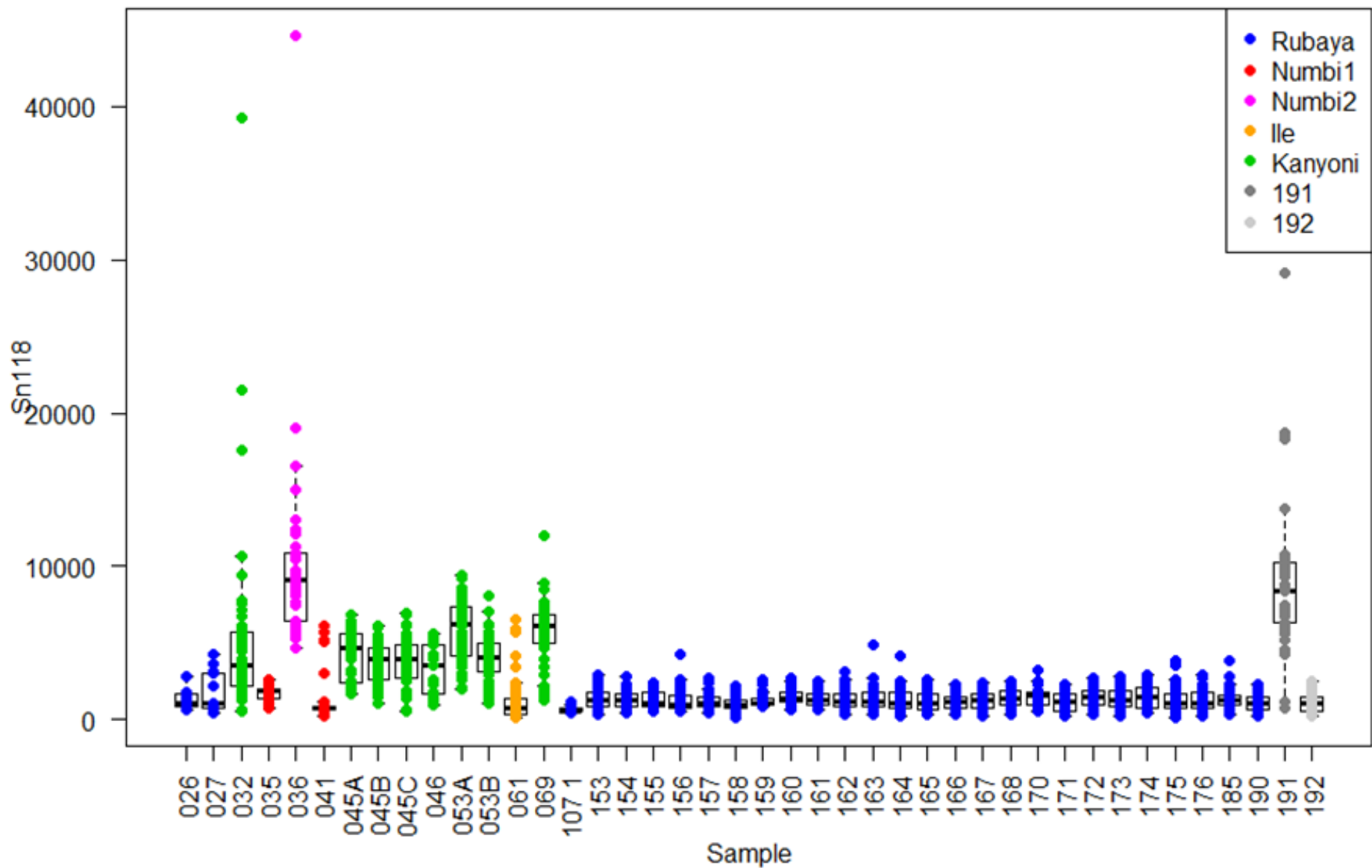


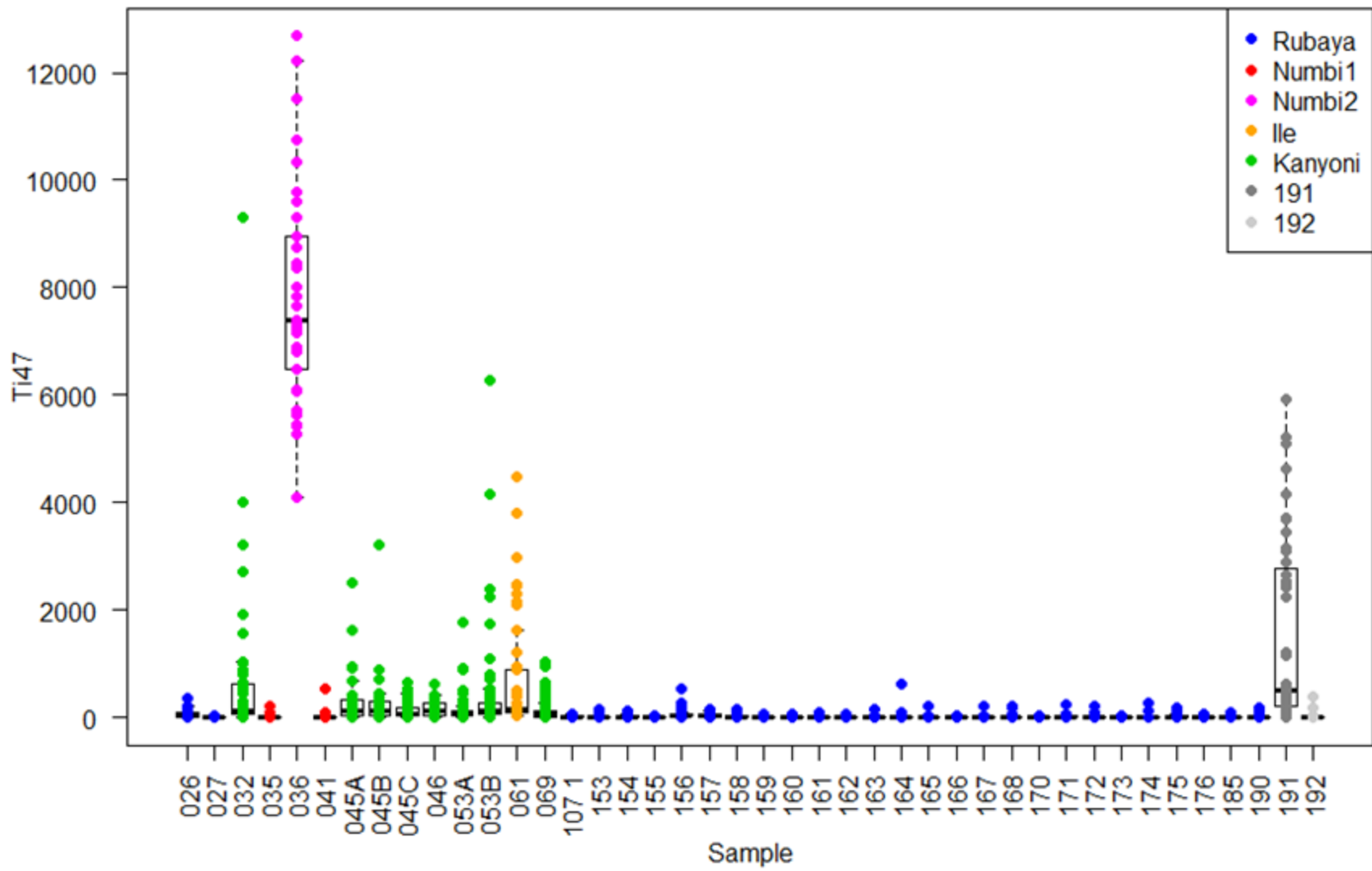


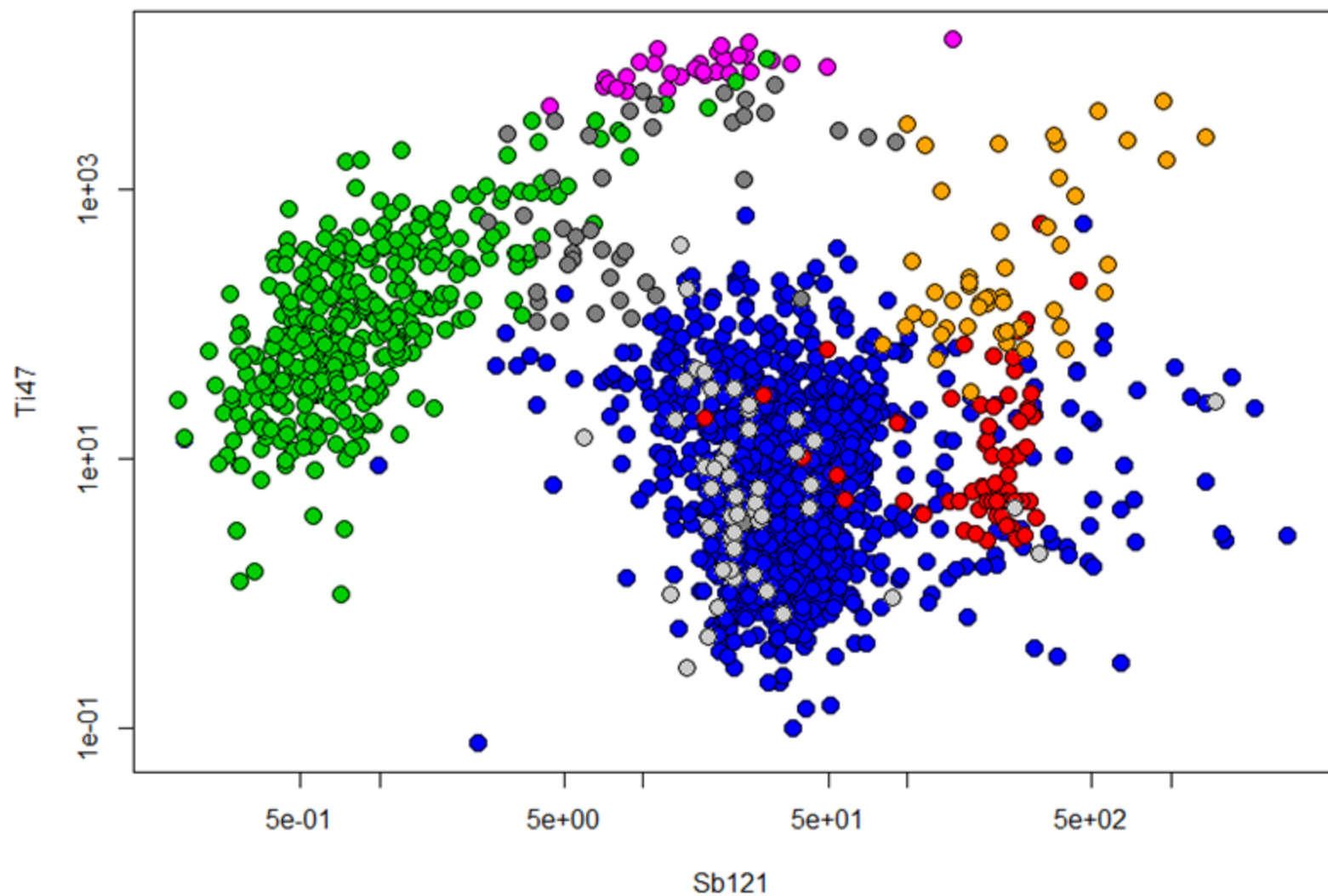
Mimuna Phazo Dizolele - www.dizolele.com

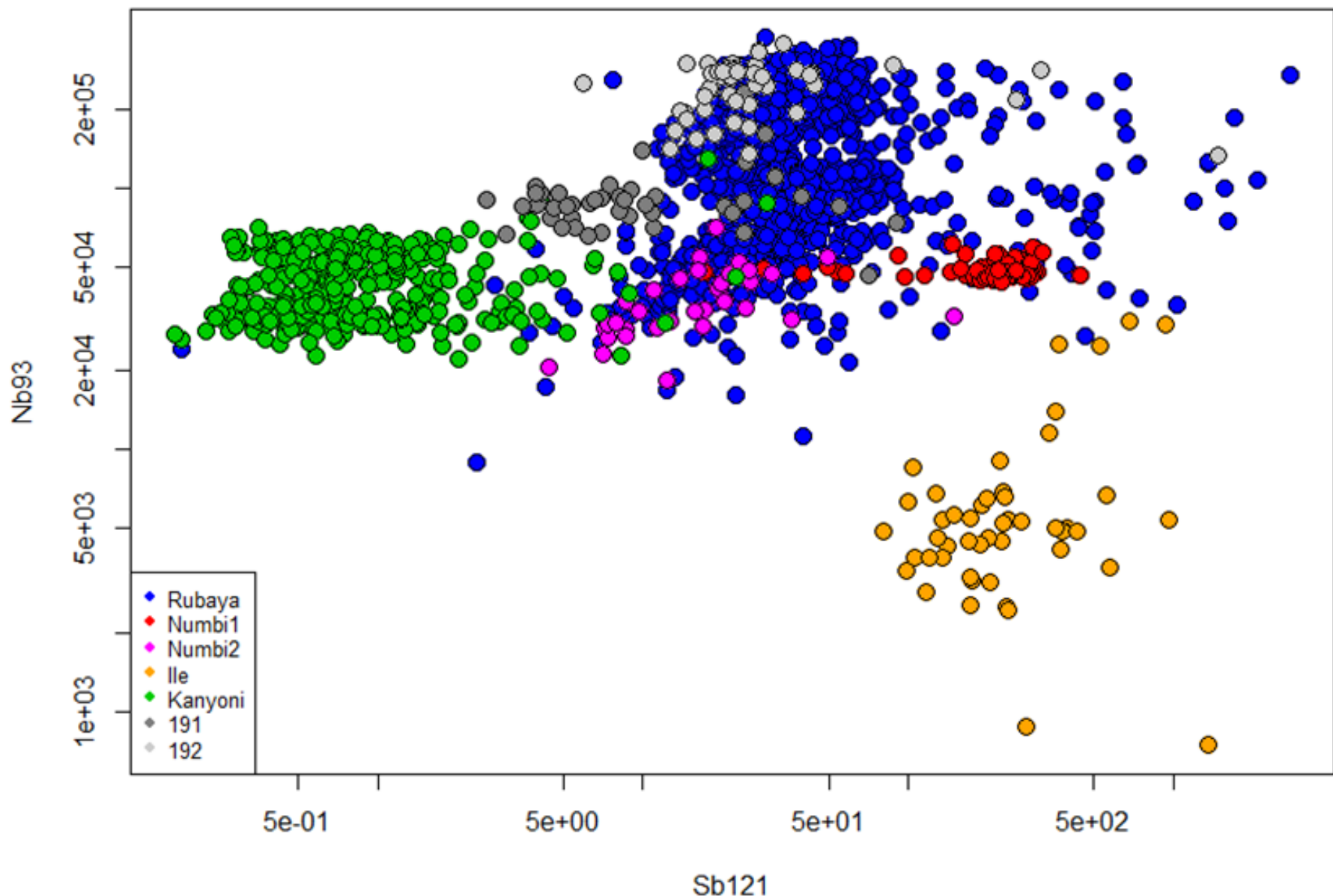


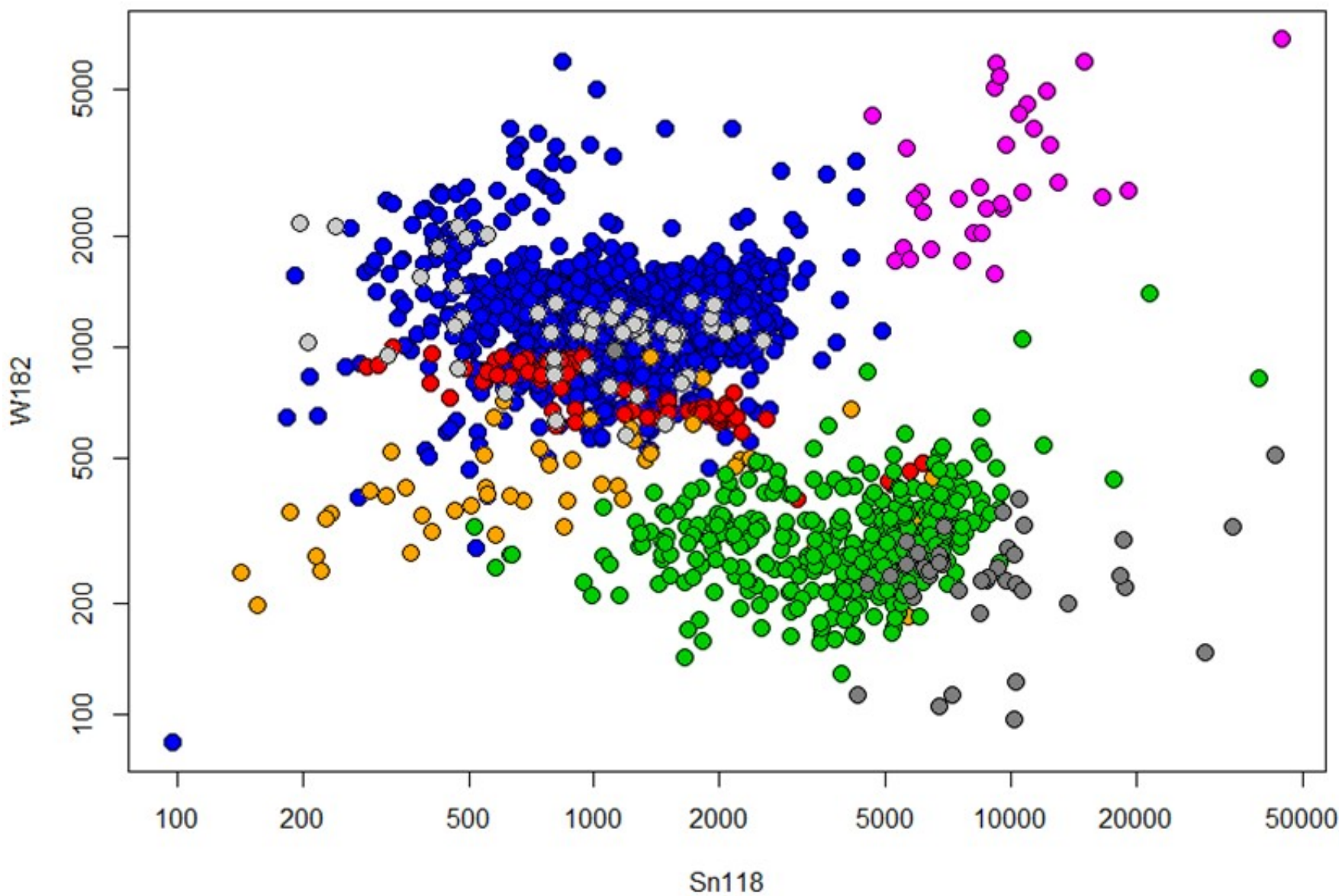












Provenience železa

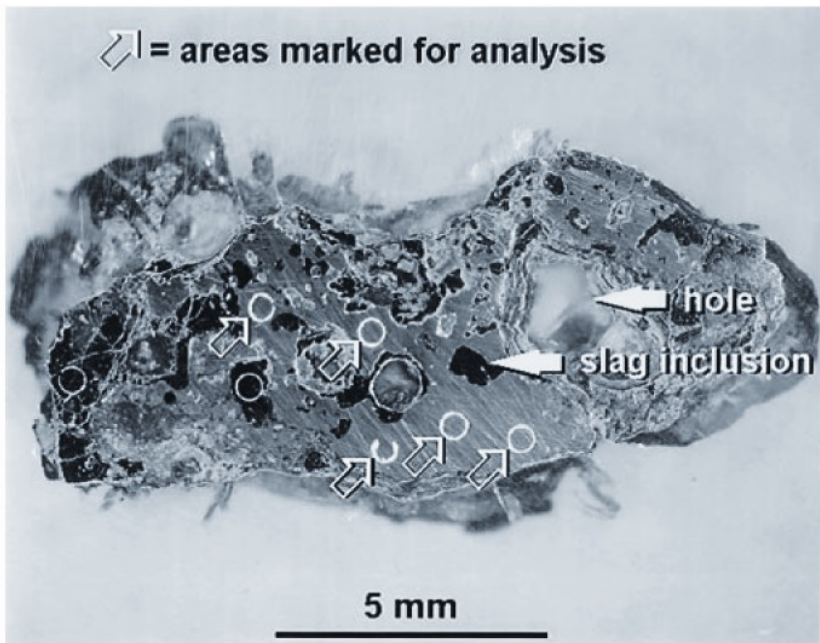


Fig. 1 Optical microscopy view of a cross-section of an iron bloom fragment embedded in a synthetic resin

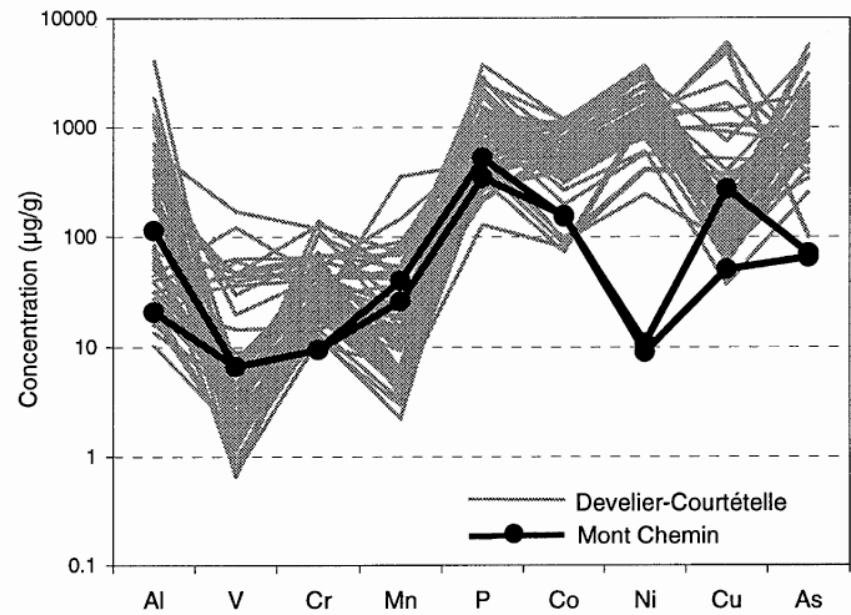
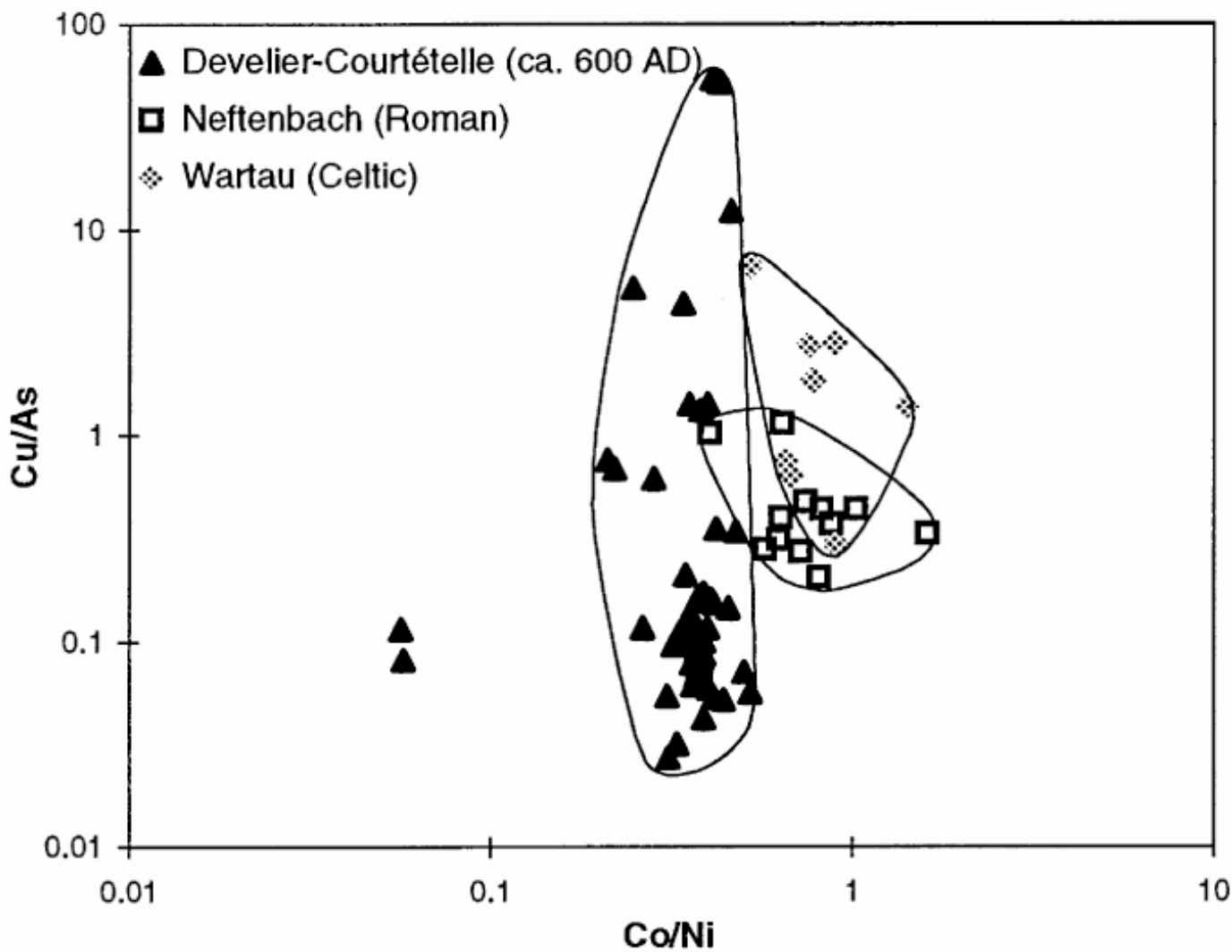


Fig. 9 Concentration profile for an iron bloom sample from Mont Chemin (Switzerland), compared to the concentration profiles in the Develier-Courtéelle samples, showing low values for Ni in the Mont-Chemin sample



Analýza izotopových poměrů

Sklo „Art nouveau“

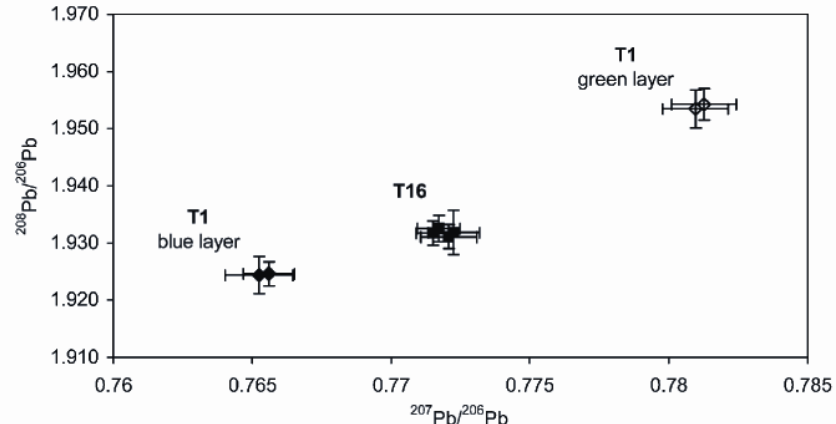


Fig. 2 Lead isotope ratio distribution of the two iridescent Art Nouveau glasses. Glass T1 consists of two layers of approximately equal thickness (coloured green and blue, respectively). Error bars represent total combined uncertainties ($k = 1$).

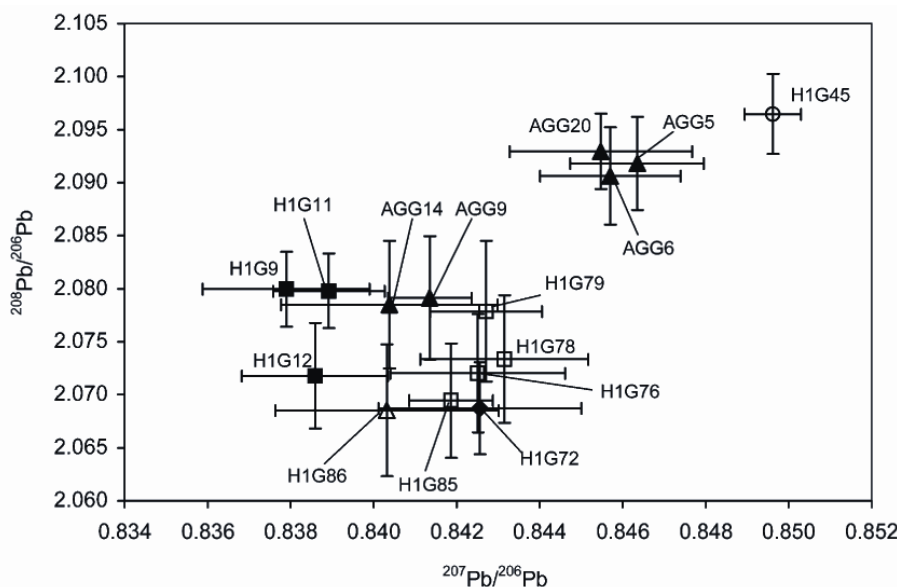
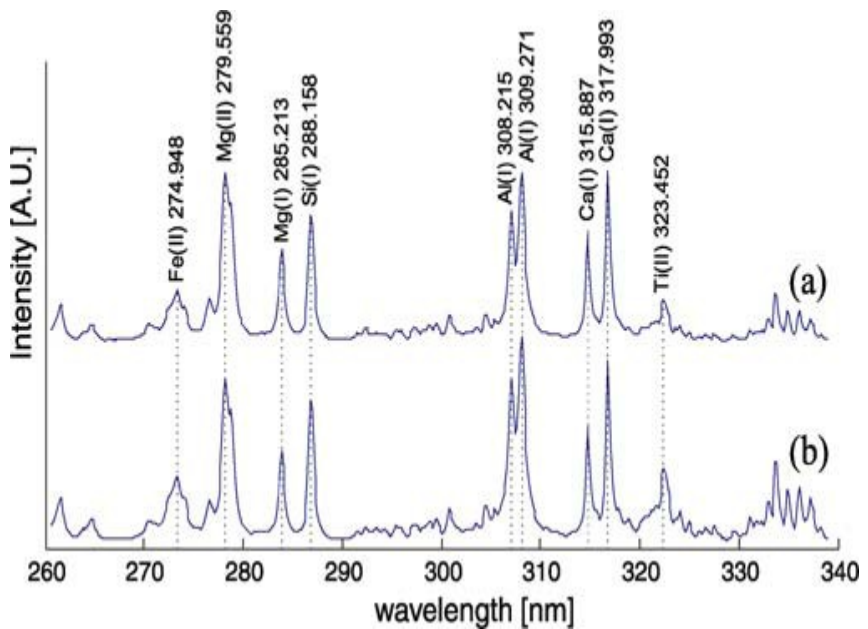


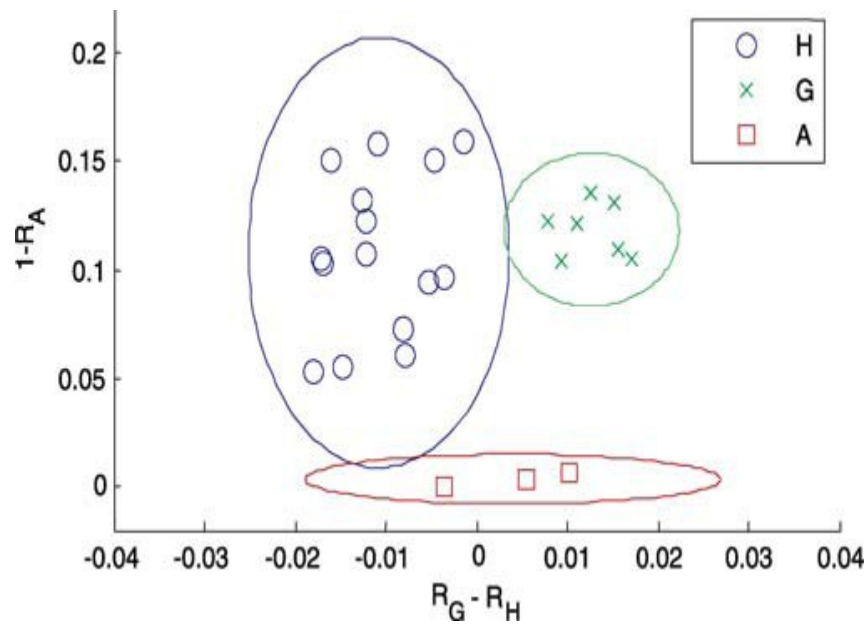
Fig. 3 Lead isotope ratios of Ephesos glass samples after external mass bias correction *via* the NIST SRM 610 glass reference material. Error bars represent total combined uncertainties ($k = 1$). For sample description see Table 1.

Terra sigillata



LIBS spektra

- (a) Hispánský vzorek, H5
- (b) Galský vzorek G3

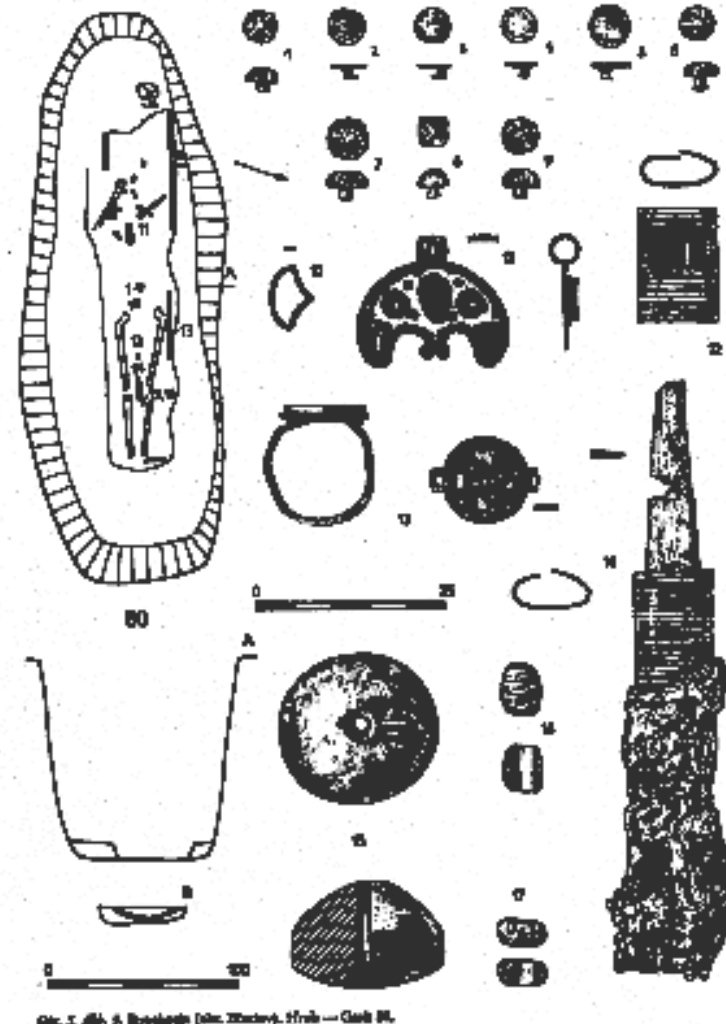


Discriminační analýza výsledků (elipsy odpovídají 90% hladiny významnosti)

Strachotín

výzkum pohřebiště z doby stěhování národů (kmen Langobardů)

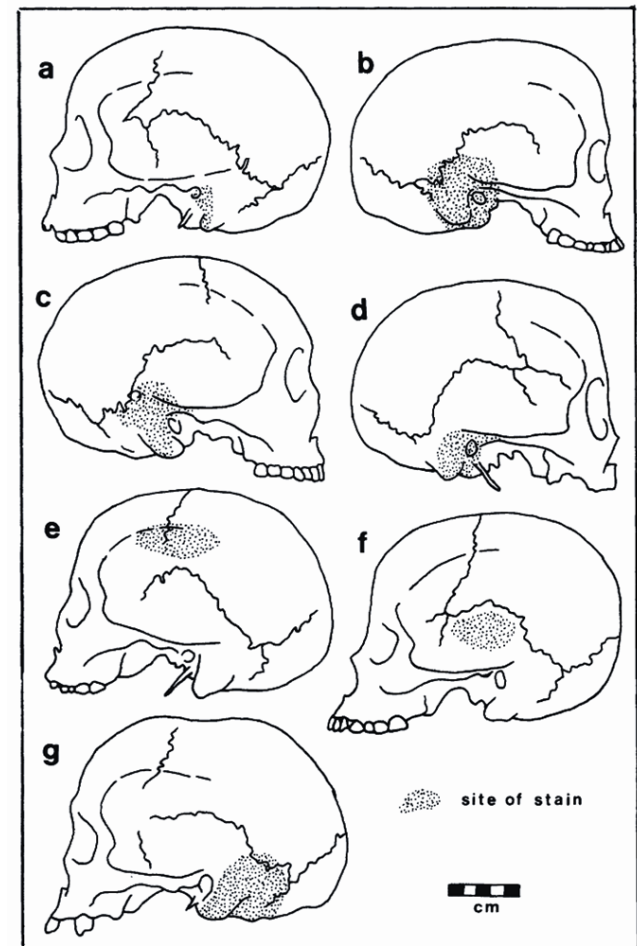
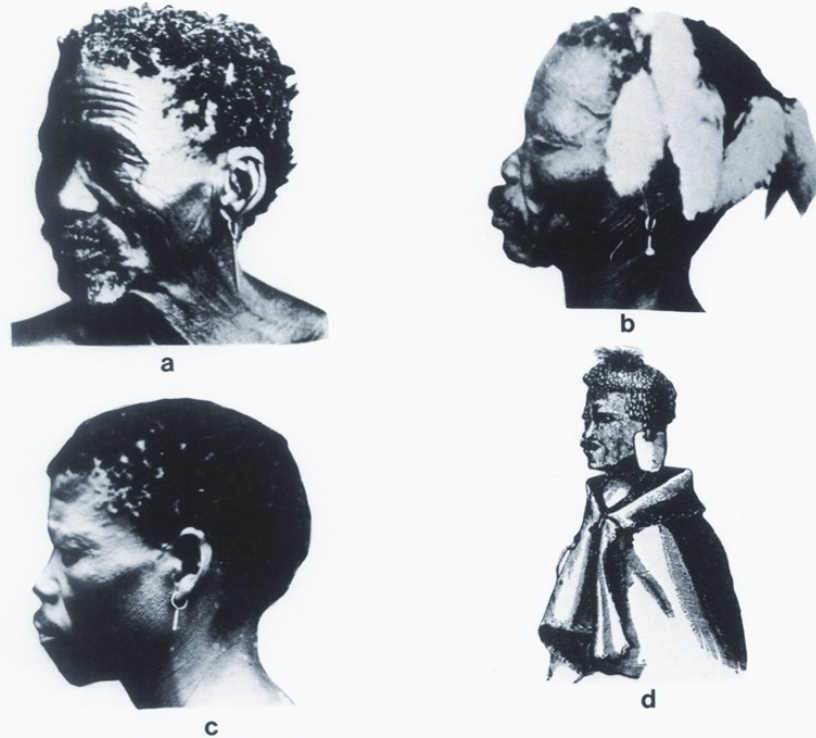
Vyloupený hrob č. 80



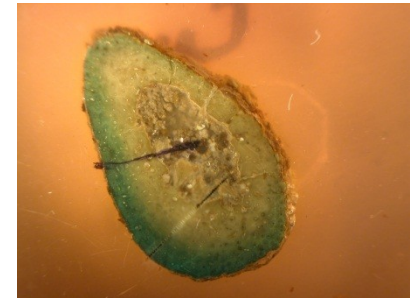
Obr. Z. Šírák, S. Rosvalová [Dok. Zemského muzea v Brně — České M.]

Reakce pozůstatků s mědí

Kosterní materiál z jihoafrických muzeí



Kontaminace kosti korozními produkty mědi

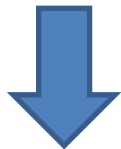


„Mos teutonicus“

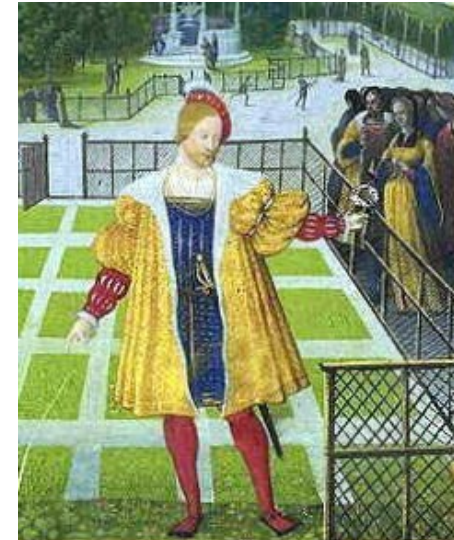
V katedrále v **Lescaru** (1483-1555 pohřebiště navarrských panovníků). V kryptě na podlaze byly nalezeny pozůstatky zbarvené zeleně či načernale + zóny hnědé a bez zbarvení. (v kryptě nepřítomny měděné předměty).

Pozůstatky byly připsány králi Jindřichovi II.

Zeleno-smaragdové zbarvení kostí = důsledek
vaření těla v měděném kotli.



Mos teutonicus



Pozůstatky sv. Ludvíka, zemřelého 1270 v Tunisu, byly vařeny ve slané vodě – kosti byly transportovány do Saint Denis a maso do Monreale (Sicílie).

Filip III Smělý, zemřelý 1285 v Perpignanu, byl vařen ve vodě a víně, kosti byly transportovány do Saint Denis a maso do Narbonne.

Experiment (Franchet 1933)

50 ml octa a 50 g soli / l vody. Pozůstatky byly 3 hodiny vařeny a poté ponechány v kotli 60 dní.

18 h tu a tam se objevují nazelenalé skvrnky

36 h zřetelné světle zelené skvrny

72 h zelené zbarvení kostí i zbytků měkkých tkání (svalů, tuku, vazů)

5d zbarvení dosahuje maxima u vzorků bez většího podílu tukové tkáně, vzorky s tukem maximum za 8-10 dní.

62 d – zbarvení se neliší od toho z 10. dne.

Během varu svalovina odpadá, až na malé zbytky

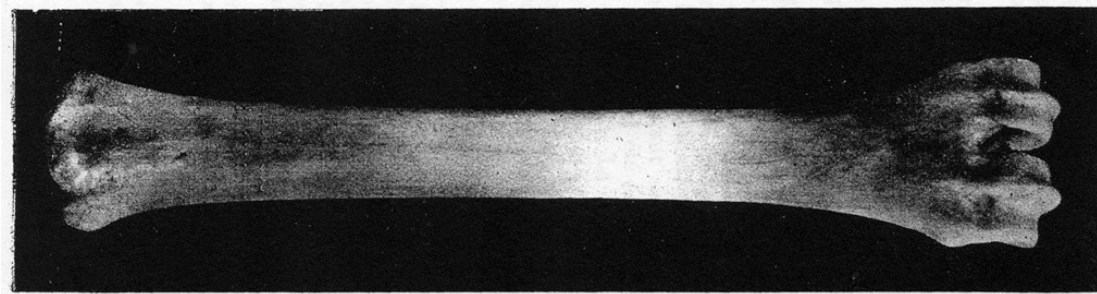


Fig. 6. — Os après bouillage dans la saumure acide, sans décharnement préalable. Les zones vertes, (noires sur la figure) vers les épiphyses étaient dépouillées de chairs.
La zone blanche, à la diaphyse, avait conservé la chair.

Kosti bez tuku:

modrozelená barva, tu a tam nažloutlé skvrnky.

Kosti částečně zbavené tuku:

zelená – světle smaragdová barva, kromě míst, kde zcela vymizel tuk – tam barva modrozelená. Také žluté-světle hnědé skvrny.

Kosti s vysokým obsahem tuku:

zelená – tmavě smaragdová barva, s černými a hnědými skvrnami.

Kost která si uchovala téměř všechn tuk:

barva zelená-černá.

Na zbarvení nemá vliv ani tak doba macerace jakoi spíš obsah tuku. Kosti s tukem získávají barvu zeleno-černou, s vymizením tuku se změní na modro-zelenou.

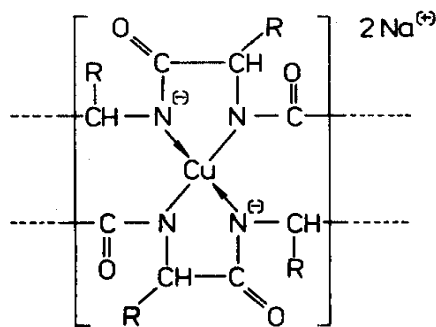
Kosti krále Jindřicha II.:

zeleno-smaragdové = velká část tuku se odstranila vařením nebo se tuk během staletí rozložil a barva se změnila na modrou.

Interakce měkkých tkání s mědí

Měkké tkáně se rychle nasytily solemi mědi. Po vyjmutí z roztoku a působením vzduchu byly vysušené a ztvrdlé a získaly zeleno-černou barvu.

Tuk původně přítomný ve svalovině se v horké vodě rozpustí, svalovina získá světle zelenou barvu a je křehká a lámavá. Tkáně jsou mumifikované, nerozkládají se a mírně zapáchají po loji.



Proteiny: vznik komplexů (Cu)

Lipidy: vznik solí MK

Kostní minerál: substituce Ca (Cu, Pb, Fe)

Buffon (*Histoire naturelle*) popisuje ruku ženy (?) nalezenou v Clamecy (Nièvre): kompletně vysušená, kůže a zbytky měkkých tkání jsou černé, zkornatělé a taktéž poškozené na několika místech, kde lze vidět kosti zbarvené modře s tendencí do tu více tu méně tmavě zelené.

Fluorový test

Určení relativního stáří fosilních a subfosilních kostí na základě obsahu fluoru, jehož obsah se se stářím kostí zvyšuje.

Table 1. Fluorine contents of bones from various geological ages (Carnot)

	F (%)
Recent	< 0.3
Pleistocene	1.5
Tertiary	2.3
Mesozoic	3.4
Palaeozoic	3.7

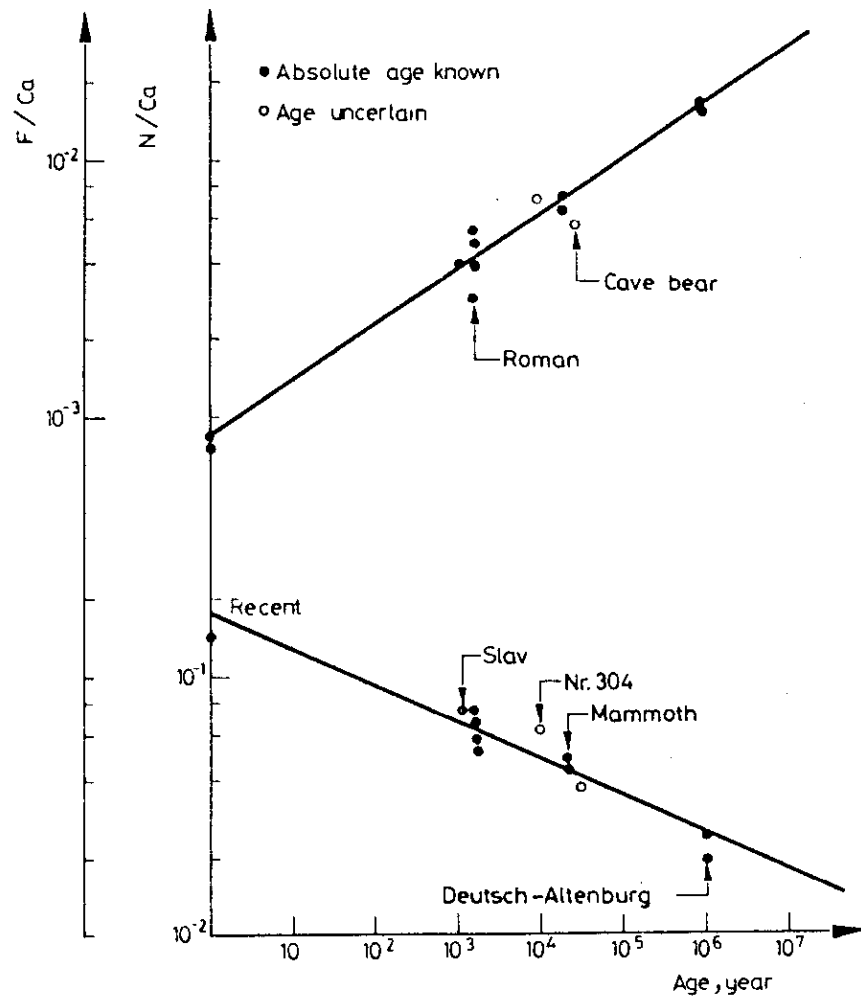
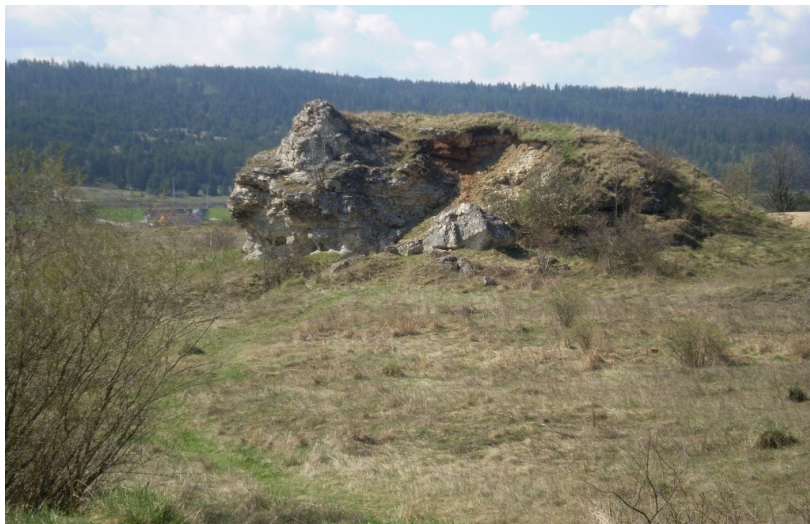


Fig. 3. Dependence of F/Ca and N/Ca -ratios on age

Gánovce

Nález přirozeného travertinového výlitku mozku neandertálce.

Obsah fluoru může být ovlivněn prostředím – termálním pramenem.



$$\text{Index} = C_F/C_{\text{PO}_4}$$

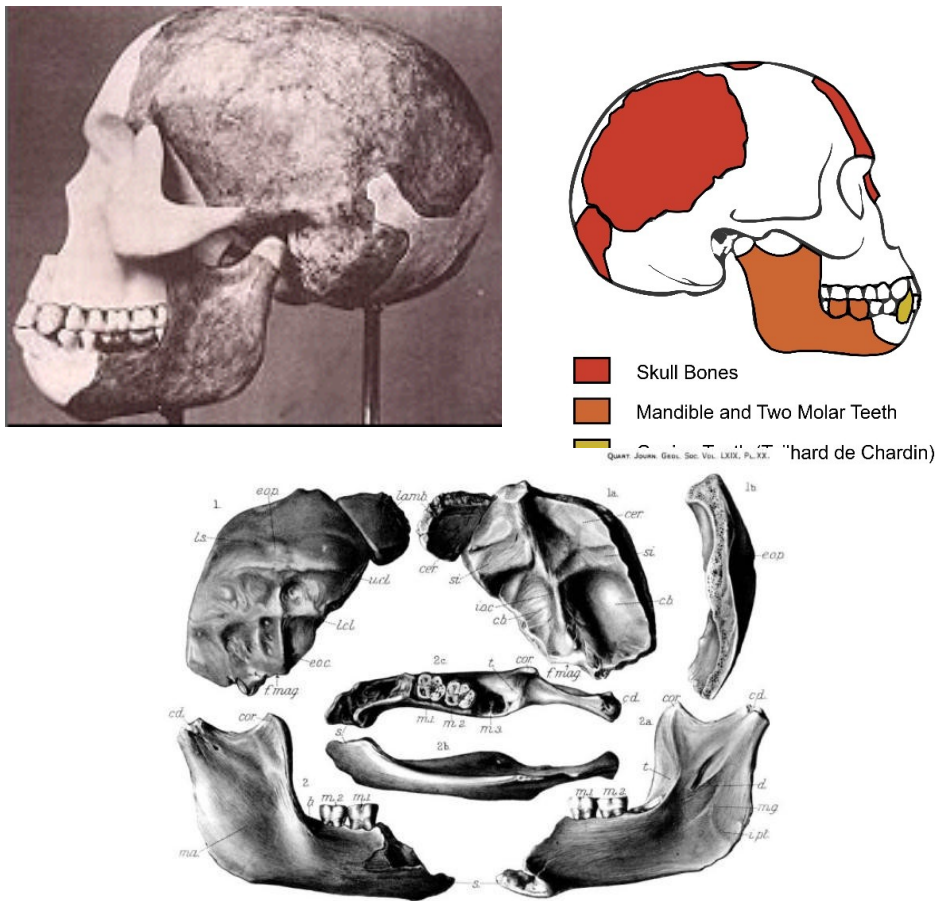
Fluorindex der Knochen in Gánovce-Profilen, streng stratifiziert

Alter	Kuppenrand und Schlamm im Liegenden	Kraterrand „Krater“	Kraterausfüllung
Holozän (Bronze)			Menschenschädel I 5,9 Menschenschädel II 6,1
W 2			Ren 9,0
W 1–2		Ceratus-Fauna 7,1	
W 1	Profil EF 4,6		
RW	Profil EF 4,6	Tier-Langknochen 9,0 Hominoide Langknochen 10,0 Menschen-Schädel 12,6 Tier-Wirbel 16,3	
R 3 ?	Schlamm im Liegenden 9,6 9,8		

Durch den ziemlich hohen Fluorindex 12,6 der Menschen-Calva von Gánovce wird dieser Fund eindeutig in das Travertingestein der zweiten Hälfte des letzten Interglazials eingereiht.

Eoanthropus dawsoni

Fosilní pozůstatky, objevené v Anglii v roce 1910–12, později odhaleny jako padělek.



ANALYSES OF FOSSIL MATERIALS FROM PILTDOWN

	Fluorine %	P ₂ O ₅ %	%F %P ₂ O ₅	× 100	Iron %
Eoanthropus I					
P.1 L. parieto-frontal (<i>E.590</i>)†	0·1 (2)*	21	0·5		7
P.2 L. temporal (<i>E.591</i>)	0·4	18	2·2		7
P.3 R. parietal (<i>E.592</i>)	0·3	17	1·8		6
P.4 Occipital (<i>E.593</i>)	0·2	28	0·7		5
P.5 R. mandibular ramus (<i>E.594</i>)	0·2 (5)	20	1·0		6
P.17 Canine (<i>E.611</i>)	<0·1	27	0·4		Trace
P.42 Molar (ramus) (<i>E.594</i>)	<0·1	23	0·4		Trace

Eoanthropus II

<i>P.30</i> Lt. frontal (<i>E.646</i>)	0·1	13	0·8	12
<i>P.31</i> Occipital (<i>E.647</i>)	0·1 (2)	17	0·6	17
<i>P.32</i> Molar (<i>Im₁</i>) (<i>E.648</i>)	0·4 (2)	30	1·3	Trace

Other Mammalian Remains

LOWER PLEISTOCENE

P.6	Molar, <i>Mastodon cf. arvernensis</i> (<i>E.595</i>)	1·9	23	8·3	5
P.7	Molar, <i>Elephas cf. planifrons</i> (<i>E. 596</i>)	2·7 (2)	33	8·2	3
P.8	Molar, <i>Elephas cf. planifrons</i> (<i>E.597</i>)	2·5	34	7·4	1
P.23	Molar, <i>Elephas cf. planifrons</i> (<i>E.620</i>)	3·1	39	7·9	4
P.25	Molar, <i>Mastodon arvernensis</i> (<i>E.622</i>)	2·3	36	6·4	4
P.26	Premolar, <i>Rhinoceros* cf. etruscus</i> (<i>E.623</i>)	2·0	24	8·3	6

POSSIBLY MIDDLE AND UPPER PLEISTOCENE

P.9 Molar, <i>Hippopotamus</i> sp. (E.598)	0·1 (3)	37	0·3	3
P.10 Premolar, <i>Hippopotamus</i> sp. (E.598)	1·1 (3)	29	3·8	5
P.11 Antler, <i>Cervus elaphus</i> (E.600)	1·5 (3)	28	5·4	3
P.12 Metatarsal, <i>Cervus</i> sp. (E.601)	0·1	27	0·4	4
P.13 Molar, <i>Equis</i> sp. (E.602)	0·4 (3)	25	1·6	2
P.14 Molar, <i>Castor fiber</i> (E.603)	0·4	30	1·3	3
P.18 Femur, <i>Elephas</i> cf. <i>antiquus</i> (E.615)	1·3 (3)	30	4·3	2
P.19 Indet. bone from basal clay (E.616)	1·4	33	4·2	1
P.21 Incisor, <i>Castor fiber</i> (E.618)	0·1	27	0·4	10
P.22 Mandible, <i>Castor fiber</i> (E.619)	0·3	18	1·7	6
P.24 Fragment of enamel, <i>Elephas</i> sp. indet. (E.621)	0·8 (3)	36	2·2	1

HOLOCENE OR PLEISTOCENE

P.36 Tibia, <i>Cervus</i> sp. (E.1383)	<0·1	35	0·3	1
P.37 Caprine molar (E.1384)	0·3 (3)	22	1·4	2
P.39 Bovine long-bone (E.1385)	0·1 (3)	30	0·3	9
P.40 Indet. bone (sub-fossil) (E.1386)	0·1	30	0·3	Trace
P.41 Indet. bone (sub-fossil) (E.1387)	0·3	42	0·7	2

HOLOCENE (RECENT)

P.33 Fragment of fresh bone from soil	<0.1	33	0.3	Trace
P.34 Pelvis, <i>Bos taurus</i>	<0.1	24	0.4	4
P.35 Metatarsal, <i>Bos taurus</i> (E.1388)	<0.1	27	0.4	2
P.38 Ungual phalange, <i>Bos taurus</i> (E.1389)	0.3	32	0.9	5

* Where more than one determination of fluorine content has been made, indicated by the number in brackets, the value recorded is the average.

^f The register numbers of specimens in the Department of Geology, British Museum (Nat. Hist.), are given in brackets after the description.